

# GLÓWNY INSPEKTORAT OCHRONY ŚRODOWISKA

ul. Wawelska 52/54, 00 – 922 Warszawa

## CENTRALNE LABORATORIUM BADAWCZE

### ODDZIAŁ W KATOWICACH

ul. Wita Stwosza 2, 40-036 Katowice

### PRACOWNIA W CZĘSTOCHOWIE

ul. Rząsawska 24/28, 42-200 Częstochowa

Strona 1/9 Raportu z badań nr 19/2019/PMS

## RAPORT Z BADAŃ NR 19/2019/PMS

Pomiary monitoringowe i ocena poziomów pól elektromagnetycznych w obszarze klasyfikacji miejsc dostępnych dla ludności

### Pomiary monitoringowe poziomów pól elektromagnetycznych

w przedziale częstotliwości

100 kHz – 3 GHz

(składowej *elektrycznej E*)

w środowisku,

wykonane dnia 23 września 2019 r.

na terenie zabudowy mieszkaniowej

w

JAWORZNIĘ

Dzielnica Ciężkowice

Gmina Jaworzno (miejska)

Powiat Jaworzno (miejski)

(woj. śląskie)

### Punkt pomiarowy poziomów pól elektromagnetycznych P1

Wyniki badań dotyczą wyłącznie badanego obiektu.

Niniejsze opracowanie zawiera wyniki badań nieakredytowanych.

Raport z badań nie może być powielane inaczej niż w całości bez pisemnej zgody Kierownika Pracowni.

Pracownia jest akredytowana przez Polskie Centrum Akredytacji i posiada certyfikat nr AB 188.

### Państwowy Monitoring Środowiska, 2019 rok

Niniejszy dokument sporządzono dla Departamentu Monitoringu Środowiska GIOŚ w Warszawie – Regionalnego Wydziału Monitoringu Środowiska w Katowicach, 40 – 036 Katowice, ul. Wita Stwosza 2, na podstawie wzajemnego porozumienia stron w przedmiotowej sprawie<sup>\*)</sup>

<sup>\*)</sup> Podjęcie oraz realizacja tytułowego projektu badawczego – pomiarów, analizy i oceny poziomów pól elektromagnetycznych w środowisku: w trybie realizacji czynności ustawowych Państwowego Monitoringu Środowiska, w ramach wzajemnej współpracy międzywydziałowej Departamentu Monitoringu Środowiska GIOŚ w Warszawie – Regionalnego Wydziału Monitoringu Środowiska w Katowicach, 40 – 036 Katowice, ul. Wita Stwosza 2 oraz Centralnego Laboratorium Badawczego GIOŚ – Oddział w Katowicach, Pracownia w Częstochowie, 42 – 200 Częstochowa, ul. Rząsawska 24/28, w myśl Ustawy z dnia 20 lipca 1991 r. o Inspekcji Ochrony Środowiska (t.j. Dz. U. 2019, Poz. 1355, z późn. zm.), a także przepisów związanych.

## 1. PODSTAWA BADAŃ

Badania wykonano w ramach wzajemnej współpracy międzywydziałowej Departamentu Monitoringu Środowiska GIOŚ w Warszawie – Regionalnego Wydziału Monitoringu Środowiska w Katowicach, 40 – 036 Katowice, ul. Wita Stwosza 2 oraz Centralnego Laboratorium Badawczego GIOŚ – Oddział w Katowicach, Pracownia w Częstochowie, 42 – 200 Częstochowa, ul. Rząsawska 24/28.

## 2. CEL BADAŃ

Cel badań stanowiło określenie poziomów pól elektromagnetycznych w przedziale częstotliwości 100 kHz – 3 GHz (składowej *elektrycznej* E) w środowisku, w miejscach dostępnych dla ludności, na terenie obszaru zabudowy mieszkaniowej, położonej we wschodniej części miasta Jaworzno, Dzielnica Ciężkowice, Gmina Jaworzno (miejska), Powiat Jaworzno (miejski) (woj. śląskie), w rozumieniu wytycznych Rozporządzenia Ministra Środowiska z dnia 12 listopada 2007 r. (Dz. U. Nr 221, Poz. 1645), w trybie realizacji czynności ustawowych Programu Państwowego Monitoringu Środowiska na lata 2016 – 2020, aut. Departamentu Monitoringu Środowiska, Głównego Inspektoratu Ochrony Środowiska, wyd. GIOŚ w Warszawie, Warszawa, 2015 rok, Podsystemu Monitoringu Pól Elektromagnetycznych w Środowisku, w myśl art. 123 Ustawy z dnia 27 kwietnia 2001 r. Prawo Ochrony Środowiska (t.j. Dz. U. 2019, Poz. 1396, z późn. zm.) oraz art. 23 ust. 3. pkt 1 Ustawy z dnia 20 lipca 1991 r. o Inspekcji Ochrony Środowiska (t.j. Dz. U. 2019, Poz. 1355, z późn. zm.), w latach 2016 – 2020, w obszarze województwa śląskiego.

## 3. TEREN BADAŃ

Punkt pomiarowy **P1** poziomów pól elektromagnetycznych w środowisku zlokalizowano w granicach administracyjnych miasta Jaworzno, we wschodniej jego części, przy ul. ks. A. Mroczka, w dzielnicy Ciężkowice. Sondę pomiarową umieszczono na wysokości h: 2 m n.p.t. W sąsiedztwie punktu pomiarowego zagospodarowanie terenu stanowi luźna zabudowa mieszkaniowa jednorodzinna. Najbliższa zabudowa mieszkaniowa znajduje się w kierunku wschodnim (E), w odległości 18 m względem punktu pomiarowego. W kierunku północnym (N), poza jezdnią drogi publicznej, ul. Wakacyjnej, znajduje się pozostała część zabudowy mieszkaniowej jednorodzinnej, z kolei w kierunku zachodnim (W), poza ul. ks. A. Mroczka przebiega Linia Kolejowa PKP Nr 133, rel. Dąbrowa Górnicza Zabkowice – Kraków.

W kierunku południowym (S), w odległości 196 m oraz 200 m od punktu pomiarowego **P1**, znajdują się dwa wolnostojące maszty kratownicowe, na których zainstalowano instalacje radiokomunikacyjne – stacje bazowe telefonii komórkowych.

Klasyfikacja rodzaju terenu wg wytycznych przedmiotowego Rozporządzenia:

*Dzielnica (osiedle) miasta o liczbie mieszkańców powyżej 50 tys.*

Nomenklatura jednostki terytorialnej (NTS):

*Jaworzno 5.2.24.50.68.01.1*

Współrzędne geogr. (GPS) punktu pomiarowego poziomów pól elektromagnetycznych w środowisku:

*N 50° 13' 19,5"*  
*E 19° 19' 58,8";*

Wysokość lokalizacji punktu pomiarowego:

*h: 2,0 [m] n.p.t.;*

Odległość punktu pomiarowego od elewacji najbliższych obiektów mieszkalnych zabudowy mieszkaniowej – jednorodzinnej, zlokalizowanych wzdłuż realizowanego przekroju pomiarowego poziomów pól w środowisku:

*l = 18 [m] - od elewacji budynku mieszkalnego jednorodzinnego przy ul. Wakacyjnej*

Lokalizacja punktu pomiarowego poziomów pól elektromagnetycznych w środowisku – pas zieleni przy ul. Wakacyjnej.

#### **4. METODYKA BADAŃ**

Rozporządzenie Ministra Środowiska z dnia 12 listopada 2007 r. w sprawie zakresu i sposobu prowadzenia okresowych badań poziomów pól elektromagnetycznych w środowisku (Dz. U. Nr 221, Poz. 1645).

#### **5. WYPOSAŻENIE POMIAROWE**

Pomiarów poziomów pól elektromagnetycznych częstotliwości 100 kHz - 3 GHz (składowej *elektrycznej*) w środowisku dokonano przy użyciu szerokopasmowego miernika natężenia pola elektromagnetycznego Narda Broadband Field Meter NBM-550, prod. Narda Safety Test Solutions GmbH, Niemcy;

Pomiarów oraz analizy widma promieniowania elektromagnetycznego w środowisku dokonano przy pomocy Selektynego Analizatora Pola Elektromagnetycznego SRM – 3006, wraz z sondą pola – Antenna Three - Axis, 420 MHz – 6 GHz, z oprzyrządowaniem oraz oprogramowaniem, wg specyfikacji i wzoru, prod. Narda Safety Test Solutions GmbH, Niemcy;

Pomiarów warunków meteorologicznych dokonano przy pomocy automatycznej stacji pogodowej KESTREL 5500, Nielsen - Kellerman Co., USA;

Szczegółowe dane identyfikacyjne przyrządów przedstawiono w Tabeli 1;

Tabela 1

Pomiary poziomów pól elektromagnetycznych częstotliwości 100 kHz – 3 GHz (składowej <i>elektrycznej</i> ) w środowisku		Pomiary warunków meteorologicznych w środowisku	
Przyrząd pomiarowy	Typ: Broadband Field Meter NBM-550 P/N: 2401/01 S/N: B-0507 Producent: Narda Safety Test Solutions GmbH, Niemcy;	Przyrząd pomiarowy	Typ: KESTREL 5500 S/N: 2131640 Producent: Nielsen - Kellerman Co., USA
Sonda pomiarowa	Typ: EF0391, <i>E-Field</i> P/N: 2402/01 S/N: A-0636 Producent: j.w. Zakres: 100 kHz – 3 GHz Charakterystyka częstotliwościowa czułości: +/- 1 dB (1MHz – 1 GHz) +/- 1,25dB (1GHz – 2,45 GHz)		
Data i czasokres pomiarów	23-09-2019 r.	Wyniki pomiarów (wartość średnia) :	
	10:15 ÷ 12:15	T [°C]	<b>20,8</b>
		RH [ % ]	<b>60,2</b>
Częstotliwość próbkowania	f: 10 sec.	Adnotacje:  Pogodnie; Brak opadów atmosferycznych	

Zastosowane przyrządy pomiarowe poziomów pól elektromagnetycznych wraz sondami pomiarowymi pól elektromagnetycznych oraz przyrząd pomiarowy warunków atmosferycznych (automatyczna stacja pogodowa) posiadają stosowne świadectwa wzorcowania, tj.:

Narda Broadband Field Meter NBM-550, P/N 2401/01, S/N B-0507, z sondami pola Probe EF0391, *E-Field*, P/N 2402/01, S/N A-0636:

- Świadectwo Wzorcowania nr: LWiMP/W/059/19 z dnia 07 marca 2019 r., wydane przez Laboratorium Wzorców i Metrologii Pola Elektromagnetycznego (LWiMP) Politechnika Wroclawska (AP 078);

Narda Selective Radiation Meter, Basic Unit, SRM-3006, P/N 3006/01, S/N H-0007:

- *Calibration Certificate No.* 300061-H0007-20171207-53  
Narda STS GmbH, D-72793 Pfullingen, Germany, 2017-12-07;

Antenna, Three-Axis, E-Filed, 27 MHz – 3 GHz, P/N 3501/03, S/N K-0560:

- *Calibration Certificate No.* 350103-K0560-20171201-08246  
Narda STS GmbH, D-72793 Pfullingen, Germany, 2017-12-01;

Automatyczna stacja pogodowa KESTREL 5500, Nielsen - Kellerman Co., USA, S/N 2131640:

– Świadectwa Wzorcowania nr:

- 57331/2018 z dnia 10 września 2018 r. – termohigrometr,
- 57346/2018 z dnia 10 września 2018 r. – barometr,
- 57312/2018 z dnia 10 września 2018 r. – anemometr wiatraczkowy,

wydane przez Laboratorium Wilgotności, Temperatury i Ciśnienia LAB-EL w Regułach (Laboratorium wzorcujące, AP 067);

Zastosowana sonda pomiarowa poziomów pól posiada sferyczną charakterystykę kierunkową, a w trakcie realizacji badań znajdowała się na wysokości 2 m n.p.t., na dielektrycznym statywie, w odległości  $d > 100$  m od rzutu anten instalacji radiokomunikacyjnych na powierzchnię terenu, zgodnie z wymaganiami przedmiotowego Rozporządzenia.

**6. INFORMACJE NA TEMAT INSTALACJI  
RADIOKOMUNIKACYJNYCH, RADIOLOKACYJNYCH,  
RADIONAWIGACYJNYCH  
REJONU BADAŃ PÓL ELEKTROMAGNETYCZNYCH \*)**

(\* - w rozumieniu wymagań przedmiotowego Rozporządzenia)

W odległości 196 m oraz 200 m od punktu pomiarowego **P1**, w kierunku południowym (S), znajdują się dwa wolnostojące maszty kratownicowe, na których zainstalowano anteny nadawczo - odbiorcze systemów radiokomunikacji mobilnej – stacji bazowych telefonii komórkowej (BTS), należących do Polkomtel S.A. oraz T-MOBILE Polska S.A. W Tabelach 2 i 3, na podstawie informacji udzielonych przez operatorów, przedstawiono podstawowe specyfikacje techniczne, właściwe dla wyżej wymienionych instalacji.

**Tabela 2**

<b><u>Zarządzający instalacją:</u></b> Polkomtel Infrastruktura Sp. z o.o. ul. Konduktorska 4, 02-673 Warszawa,					
<b><u>Nazwa instalacji wg nomenklatury użytkownika:</u></b> Stacja bazowa nr: <b>BT-22501</b>					
<b><u>Lokalizacja:</u></b> Wolnostojący maszt przy ul. ks. A. Mrocza w Jaworznie					
<b>Lp.</b>	<b>Azymut [° ]</b>	<b>Typ anteny</b>	<b>Pasmo pracy [MHz]</b>	<b>Wysokość zawieszenia H [m] n.p.t.</b>	<b>EIRP<sub>max</sub> [W]</b>
<b>1.</b>	115	Antena sektorowa	900 1800	41,3	11980
<b>2.</b>	240	Antena sektorowa	900 1800	41,3	12682
<b>3.</b>	340	Antena sektorowa	900 1800	41,3	12682
<b>4.</b>	115	Antena sektorowa	2100	41,0	2935
<b>5.</b>	240	Antena sektorowa	2100	41,0	2935
<b>6.</b>	340	Antena sektorowa	2100	41,0	2935
EIRP <sub>max</sub> , łącznie ze wszystkich anten sektorowych instalacji: <b>46 149 [W]</b>					

*Objaśnienia:*

EIRP<sub>max</sub> – wartości max mocy promieniowania równoważnej izotropowo, [W].

Tabela 3

<b><u>Zarządzający instalacją:</u></b> T-MOBILE Polska S.A. ul. Marynarska 12, 02-674 Warszawa,					
<b><u>Nazwa instalacji wg nomenklatury użytkownika:</u></b> Stacja bazowa nr: <b>50399 JAWORZNO</b>					
<b><u>Lokalizacja:</u></b> Wolnostojący maszt przy ul. ks. A. Mrocza w Jaworznie.					
Lp.	Azymut [ $^{\circ}$ ]	Typ anteny	Pasmo (system) pracy [MHz]	Wysokość zawieszenia H [m] n.p.t.	EIRP <sub>max</sub> [W]
1.	60	Antena sektorowa	900 1800	51,6	10273
2.	60	Antena sektorowa	800 2100	51,6	10921
3.	145	Antena sektorowa	800	51,6	4921
4.	145	Antena sektorowa	900 1800	51,6	10615
5.	145	Antena sektorowa	2100	51,6	8475
6.	235	Antena sektorowa	80	51,6	4921
7.	235	Antena sektorowa	900 1800	51,6	9960
8.	235	Antena sektorowa	2100	51,6	8475
9.	335	Antena sektorowa	800	51,6	4921
10.	335	Antena sektorowa	900 1800	51,6	9960
11.	335	Antena sektorowa	2100	51,6	8475
EIRP <sub>max</sub> , łącznie ze wszystkich anten sektorowych instalacji: <b>91 917 [W]</b>					

**Objaśnienia:**EIRP<sub>max</sub> – wartości max mocy promieniowania równoważnej izotropowo, [W].

## 7. WYNIKI BADAŃ

### Wyniki pomiarów poziomów pól elektromagnetycznych częstotliwości 100 kHz – 3 GHz (składowej elektrycznej E) w środowisku

Tabela 4

Lp.	Punkt pomiarowy poziomów pól elektromagnetycznych w środowisku	Natężenie pola elektrycznego  E **) [V/m]	Niepewność pomiaru  U <sub>E 0,95</sub> [V/m]
1.	P1 Jaworzno ul. ks. A. Mrocza Dzielnica Ciężkowice Gmina Jaworzno (miejska) Powiat Jaworzno (miejski) (woj. śląskie)	0,60	± 0,18

#### Objaśnienia:

E \*\*) [V/m] - średnia wartość arytmetyczna wartości skutecznych natężeń pól elektrycznych promieniowania elektromagnetycznego w zakresie częstotliwości 100 kHz – 3 GHz, w danym punkcie obserwacji, w środowisku.

## 8. ZAŁĄCZNIKI

1. *Raport pomiarowy Narda NBM – 550*  
- w postaci elektronicznej  
- zarchiwizowany w siedzibie Centralnego Laboratorium Badawczego GIOŚ – Oddział w Katowicach, Pracownia w Częstochowie (wg wzoru);
2. *Fotografie rejonu badań, szt. 3;*
3. *Szkic sytuacyjny rejonu badań (Ryc. 1);*
4. *Analiza widma promieniowania elektromagnetycznego, z zastosowaniem profesjonalnej jednostki analizatora selektywnego widma promieniowania elektromagnetycznego pn. Selective Radiation Meter SRM – 3006, wraz z oprzyrządowaniem i oprogramowaniem, Narda STS GmbH, Germany, w przedmiotowym zakresie (Ryc. 2)*  
- zarchiwizowany w siedzibie GIOŚ, Departamentu Monitoringu, R.W.M. Ś. w Katowicach (wg charakterystyki i wzoru).



**Wykonujący badania:**

<b>1. Wojciech Klama – Specjalista</b>	–
--	---

**Osoba autoryzująca raport:**

<i>Pieczęć i podpis</i>
-------------------------

**Zatwierdził:**

<i>Pieczęć i podpis</i>
-------------------------

**Częstochowa, dn. 26.06.2020 r.**

**KONIEC RAPORTU**

**Instrument / Site**

---

Meter	Probe	
Model: NBM-550	Model: EF0391	
S/N: B-0507	S/N: A-0636	
Calibration Due Date 05/15/2020	Calibration Due Date 05/16/2020	

Site	Coordinates
Jaworzno P-1 Dzielnica Szczakowa Gmina Jaworzno (miejska) Powiat Jaworzno (miejski) (woj. śląskie)	Latitude: 50.22202 Longitude: 19.33304

Comment
Pomiary monitoringowe poziomów pól elektromagnetycznych w przedziale częstotliwości 100 kHz - 3 GHz (składowej elektrycznej E, V/m), w środowisku, wykonane dnia 23 września 2019 r., na terenie zabudowy mieszkaniowej, Jaworzno, Dzielnica Szczakowa, Gmina Jaworzno (miejska), Powiat Jaworzno (miejski) (woj. śląskie); Państwowy Monitoring Pól Elektromagnetycznych w Środowisku; Główny Inspektorat Ochrony Środowiska; Rok kalendarzowy 2019.

## Measured Values

---

### Zoomed

Timer: Start Time 10:15:40 AM, Period 2h 0' 0", Interval 10s

Index	Date/Time	Zero	Max (E-Field)	Avg (E-Field)	Min (E-Field)
1	09/23/2019 10:15:50 AM		0.8827 V/m	0.6962 V/m	0.5576 V/m
2	09/23/2019 10:16:00 AM		1.094 V/m	0.7504 V/m	0.5177 V/m
3	09/23/2019 10:16:10 AM		0.7905 V/m	0.6376 V/m	0.5304 V/m
4	09/23/2019 10:16:20 AM		0.7715 V/m	0.6513 V/m	0.5349 V/m
5	09/23/2019 10:16:30 AM		0.7807 V/m	0.6339 V/m	0.4791 V/m
6	09/23/2019 10:16:40 AM		0.8316 V/m	0.5852 V/m	0.4927 V/m
7	09/23/2019 10:16:50 AM		0.8061 V/m	0.7061 V/m	0.6219 V/m
8	09/23/2019 10:17:00 AM		0.7286 V/m	0.6117 V/m	0.5261 V/m
9	09/23/2019 10:17:10 AM		0.7804 V/m	0.5979 V/m	0.4848 V/m
10	09/23/2019 10:17:20 AM		0.6380 V/m	0.5317 V/m	0.4820 V/m
11	09/23/2019 10:17:30 AM		0.7647 V/m	0.6038 V/m	0.4675 V/m
12	09/23/2019 10:17:40 AM		0.7383 V/m	0.5514 V/m	0.4634 V/m
13	09/23/2019 10:17:50 AM		0.7516 V/m	0.6144 V/m	0.4751 V/m
14	09/23/2019 10:18:00 AM		0.7683 V/m	0.5877 V/m	0.4751 V/m
15	09/23/2019 10:18:10 AM		0.7331 V/m	0.5900 V/m	0.5026 V/m
16	09/23/2019 10:18:20 AM		0.7312 V/m	0.5566 V/m	0.4916 V/m
17	09/23/2019 10:18:30 AM		0.7786 V/m	0.5309 V/m	0.4514 V/m
18	09/23/2019 10:18:40 AM		0.7940 V/m	0.5690 V/m	0.4693 V/m
19	09/23/2019 10:18:50 AM		0.7275 V/m	0.5553 V/m	0.4622 V/m
20	09/23/2019 10:19:00 AM		0.6684 V/m	0.5080 V/m	0.4550 V/m
21	09/23/2019 10:19:10 AM		0.7305 V/m	0.5237 V/m	0.4483 V/m
22	09/23/2019 10:19:20 AM		0.7520 V/m	0.5327 V/m	0.4598 V/m
23	09/23/2019 10:19:30 AM		0.8753 V/m	0.6142 V/m	0.4434 V/m
24	09/23/2019 10:19:40 AM		0.7776 V/m	0.5201 V/m	0.4365 V/m
25	09/23/2019 10:19:50 AM		0.6272 V/m	0.4990 V/m	0.4397 V/m
26	09/23/2019 10:20:00 AM		0.5193 V/m	0.4611 V/m	0.4359 V/m
27	09/23/2019 10:20:10 AM		0.5741 V/m	0.4691 V/m	0.4334 V/m
28	09/23/2019 10:20:20 AM		0.8068 V/m	0.5742 V/m	0.4378 V/m
29	09/23/2019 10:20:30 AM		0.7286 V/m	0.5396 V/m	0.4465 V/m
30	09/23/2019 10:20:40 AM		0.6289 V/m	0.4932 V/m	0.4556 V/m
31	09/23/2019 10:20:50 AM		0.7818 V/m	0.4994 V/m	0.4483 V/m
32	09/23/2019 10:21:00 AM		0.7586 V/m	0.5166 V/m	0.4532 V/m
33	09/23/2019 10:21:10 AM		0.5491 V/m	0.4795 V/m	0.4465 V/m
34	09/23/2019 10:21:20 AM		0.6201 V/m	0.4882 V/m	0.4502 V/m
35	09/23/2019 10:21:30 AM		0.7722 V/m	0.5856 V/m	0.4843 V/m
36	09/23/2019 10:21:40 AM		0.6563 V/m	0.5026 V/m	0.4508 V/m
37	09/23/2019 10:21:50 AM		0.6855 V/m	0.4929 V/m	0.4471 V/m
38	09/23/2019 10:22:00 AM		0.7557 V/m	0.5643 V/m	0.4471 V/m
39	09/23/2019 10:22:10 AM		0.6667 V/m	0.5006 V/m	0.4550 V/m
40	09/23/2019 10:22:20 AM		0.7335 V/m	0.5313 V/m	0.4508 V/m
41	09/23/2019 10:22:30 AM		0.7432 V/m	0.5474 V/m	0.4514 V/m
42	09/23/2019 10:22:40 AM		0.8988 V/m	0.6427 V/m	0.4604 V/m
43	09/23/2019 10:22:50 AM		0.7926 V/m	0.5116 V/m	0.4526 V/m
44	09/23/2019 10:23:00 AM		0.7029 V/m	0.5562 V/m	0.4568 V/m
45	09/23/2019 10:23:10 AM		0.6245 V/m	0.5160 V/m	0.4716 V/m
46	09/23/2019 10:23:20 AM		0.6626 V/m	0.5139 V/m	0.4483 V/m
47	09/23/2019 10:23:30 AM		0.7954 V/m	0.5982 V/m	0.4699 V/m
48	09/23/2019 10:23:40 AM		0.7733 V/m	0.5593 V/m	0.4640 V/m

Index	Date/Time	Zero	Max (E-Field)	Avg (E-Field)	Min (E-Field)
49	09/23/2019 10:23:50 AM		0.7473 V/m	0.5133 V/m	0.4520 V/m
50	09/23/2019 10:24:00 AM		0.7874 V/m	0.5090 V/m	0.4459 V/m
51	09/23/2019 10:24:10 AM		0.6842 V/m	0.5317 V/m	0.4622 V/m
52	09/23/2019 10:24:20 AM		0.7589 V/m	0.5202 V/m	0.4592 V/m
53	09/23/2019 10:24:30 AM		0.7758 V/m	0.5835 V/m	0.4586 V/m
54	09/23/2019 10:24:40 AM		0.7937 V/m	0.5432 V/m	0.4580 V/m
55	09/23/2019 10:24:50 AM		0.6571 V/m	0.5130 V/m	0.4669 V/m
56	09/23/2019 10:25:00 AM		0.7417 V/m	0.5537 V/m	0.4675 V/m
57	09/23/2019 10:25:10 AM		0.7505 V/m	0.5364 V/m	0.4568 V/m
58	09/23/2019 10:25:20 AM		0.7461 V/m	0.5351 V/m	0.4663 V/m
59	09/23/2019 10:25:30 AM		0.7891 V/m	0.5620 V/m	0.4814 V/m
60	09/23/2019 10:25:40 AM		0.7118 V/m	0.5300 V/m	0.4628 V/m
61	09/23/2019 10:25:50 AM		0.8474 V/m	0.5439 V/m	0.4616 V/m
62	09/23/2019 10:26:00 AM		0.6053 V/m	0.5100 V/m	0.4791 V/m
63	09/23/2019 10:26:10 AM		0.7797 V/m	0.5740 V/m	0.4520 V/m
64	09/23/2019 10:26:20 AM		0.7705 V/m	0.5199 V/m	0.4568 V/m
65	09/23/2019 10:26:30 AM		0.7790 V/m	0.5444 V/m	0.4616 V/m
66	09/23/2019 10:26:40 AM		0.6363 V/m	0.5154 V/m	0.4757 V/m
67	09/23/2019 10:26:50 AM		0.6806 V/m	0.5381 V/m	0.4693 V/m
68	09/23/2019 10:27:00 AM		0.7733 V/m	0.5345 V/m	0.4716 V/m
69	09/23/2019 10:27:10 AM		0.6638 V/m	0.5243 V/m	0.4739 V/m
70	09/23/2019 10:27:20 AM		0.7679 V/m	0.5158 V/m	0.4681 V/m
71	09/23/2019 10:27:30 AM		0.7564 V/m	0.5503 V/m	0.4751 V/m
72	09/23/2019 10:27:40 AM		0.7779 V/m	0.5719 V/m	0.4693 V/m
73	09/23/2019 10:27:50 AM		0.7044 V/m	0.5244 V/m	0.4733 V/m
74	09/23/2019 10:28:00 AM		0.7926 V/m	0.5519 V/m	0.4803 V/m
75	09/23/2019 10:28:10 AM		0.6103 V/m	0.5426 V/m	0.4797 V/m
76	09/23/2019 10:28:20 AM		0.6012 V/m	0.5062 V/m	0.4739 V/m
77	09/23/2019 10:28:30 AM		0.8037 V/m	0.5658 V/m	0.4791 V/m
78	09/23/2019 10:28:40 AM		0.7625 V/m	0.5490 V/m	0.4739 V/m
79	09/23/2019 10:28:50 AM		0.7267 V/m	0.5383 V/m	0.4657 V/m
80	09/23/2019 10:29:00 AM		0.7297 V/m	0.5115 V/m	0.4616 V/m
81	09/23/2019 10:29:10 AM		0.8023 V/m	0.5786 V/m	0.4831 V/m
82	09/23/2019 10:29:20 AM		0.7546 V/m	0.5663 V/m	0.4825 V/m
83	09/23/2019 10:29:30 AM		0.8644 V/m	0.5586 V/m	0.4669 V/m
84	09/23/2019 10:29:40 AM		0.6830 V/m	0.5100 V/m	0.4640 V/m
85	09/23/2019 10:29:50 AM		0.8660 V/m	0.5566 V/m	0.4652 V/m
86	09/23/2019 10:30:00 AM		0.8868 V/m	0.5440 V/m	0.4768 V/m
87	09/23/2019 10:30:10 AM		0.8509 V/m	0.5496 V/m	0.4803 V/m
88	09/23/2019 10:30:20 AM		0.8698 V/m	0.5632 V/m	0.4634 V/m
89	09/23/2019 10:30:30 AM		0.5726 V/m	0.5024 V/m	0.4657 V/m
90	09/23/2019 10:30:40 AM		0.7099 V/m	0.5366 V/m	0.4780 V/m
91	09/23/2019 10:30:50 AM		0.7704 V/m	0.5520 V/m	0.4669 V/m
92	09/23/2019 10:31:00 AM		0.7708 V/m	0.5085 V/m	0.4628 V/m
93	09/23/2019 10:31:10 AM		0.7149 V/m	0.5032 V/m	0.4681 V/m
94	09/23/2019 10:31:20 AM		0.7578 V/m	0.5177 V/m	0.4652 V/m
95	09/23/2019 10:31:30 AM		0.6954 V/m	0.5020 V/m	0.4657 V/m
96	09/23/2019 10:31:40 AM		0.6152 V/m	0.4839 V/m	0.4471 V/m
97	09/23/2019 10:31:50 AM		0.5536 V/m	0.4890 V/m	0.4562 V/m
98	09/23/2019 10:32:00 AM		0.7395 V/m	0.5314 V/m	0.4693 V/m
99	09/23/2019 10:32:10 AM		0.7513 V/m	0.4964 V/m	0.4586 V/m
100	09/23/2019 10:32:20 AM		0.7244 V/m	0.5097 V/m	0.4710 V/m
101	09/23/2019 10:32:30 AM		0.7995 V/m	0.5301 V/m	0.4716 V/m
102	09/23/2019 10:32:40 AM		0.7571 V/m	0.5004 V/m	0.4646 V/m

Index	Date/Time	Zero	Max (E-Field)	Avg (E-Field)	Min (E-Field)
103	09/23/2019 10:32:50 AM		0.7067 V/m	0.4996 V/m	0.4586 V/m
104	09/23/2019 10:33:00 AM		0.7221 V/m	0.5289 V/m	0.4704 V/m
105	09/23/2019 10:33:10 AM		0.5421 V/m	0.4843 V/m	0.4483 V/m
106	09/23/2019 10:33:20 AM		0.7156 V/m	0.5075 V/m	0.4616 V/m
107	09/23/2019 10:33:30 AM		0.7654 V/m	0.5279 V/m	0.4699 V/m
108	09/23/2019 10:33:40 AM		0.5845 V/m	0.4940 V/m	0.4646 V/m
109	09/23/2019 10:33:50 AM		0.5400 V/m	0.4874 V/m	0.4586 V/m
110	09/23/2019 10:34:00 AM		0.6858 V/m	0.5136 V/m	0.4592 V/m
111	09/23/2019 10:34:10 AM		0.5784 V/m	0.4852 V/m	0.4520 V/m
112	09/23/2019 10:34:20 AM		0.5161 V/m	0.4791 V/m	0.4562 V/m
113	09/23/2019 10:34:30 AM		0.6076 V/m	0.5124 V/m	0.4681 V/m
114	09/23/2019 10:34:40 AM		0.5501 V/m	0.4847 V/m	0.4604 V/m
115	09/23/2019 10:34:50 AM		0.5451 V/m	0.4838 V/m	0.4657 V/m
116	09/23/2019 10:35:00 AM		0.7480 V/m	0.5209 V/m	0.4592 V/m
117	09/23/2019 10:35:10 AM		0.5625 V/m	0.4923 V/m	0.4592 V/m
118	09/23/2019 10:35:20 AM		0.5966 V/m	0.4971 V/m	0.4604 V/m
119	09/23/2019 10:35:30 AM		0.6324 V/m	0.5145 V/m	0.4681 V/m
120	09/23/2019 10:35:40 AM		0.5892 V/m	0.4897 V/m	0.4592 V/m
121	09/23/2019 10:35:50 AM		0.5639 V/m	0.4871 V/m	0.4663 V/m
122	09/23/2019 10:36:00 AM		0.6950 V/m	0.5294 V/m	0.4699 V/m
123	09/23/2019 10:36:10 AM		0.5496 V/m	0.4956 V/m	0.4544 V/m
124	09/23/2019 10:36:20 AM		0.5779 V/m	0.5082 V/m	0.4728 V/m
125	09/23/2019 10:36:30 AM		0.7604 V/m	0.5402 V/m	0.4728 V/m
126	09/23/2019 10:36:40 AM		0.6621 V/m	0.5205 V/m	0.4860 V/m
127	09/23/2019 10:36:50 AM		0.5911 V/m	0.5093 V/m	0.4751 V/m
128	09/23/2019 10:37:00 AM		0.5476 V/m	0.4967 V/m	0.4716 V/m
129	09/23/2019 10:37:10 AM		0.6380 V/m	0.5107 V/m	0.4622 V/m
130	09/23/2019 10:37:20 AM		0.6842 V/m	0.5179 V/m	0.4722 V/m
131	09/23/2019 10:37:30 AM		0.7206 V/m	0.5166 V/m	0.4634 V/m
132	09/23/2019 10:37:40 AM		0.7754 V/m	0.5685 V/m	0.4669 V/m
133	09/23/2019 10:37:50 AM		0.6846 V/m	0.5172 V/m	0.4722 V/m
134	09/23/2019 10:38:00 AM		0.7141 V/m	0.5242 V/m	0.4722 V/m
135	09/23/2019 10:38:10 AM		0.7067 V/m	0.5393 V/m	0.4716 V/m
136	09/23/2019 10:38:20 AM		0.7779 V/m	0.5246 V/m	0.4780 V/m
137	09/23/2019 10:38:30 AM		0.8067 V/m	0.5351 V/m	0.4687 V/m
138	09/23/2019 10:38:40 AM		0.6559 V/m	0.5374 V/m	0.4797 V/m
139	09/23/2019 10:38:50 AM		0.7435 V/m	0.5461 V/m	0.4768 V/m
140	09/23/2019 10:39:00 AM		0.7210 V/m	0.5334 V/m	0.4751 V/m
141	09/23/2019 10:39:10 AM		0.8122 V/m	0.5567 V/m	0.4843 V/m
142	09/23/2019 10:39:20 AM		0.6922 V/m	0.5376 V/m	0.4803 V/m
143	09/23/2019 10:39:30 AM		0.7783 V/m	0.5473 V/m	0.4848 V/m
144	09/23/2019 10:39:40 AM		0.8189 V/m	0.5683 V/m	0.4791 V/m
145	09/23/2019 10:39:50 AM		0.6380 V/m	0.5446 V/m	0.4791 V/m
146	09/23/2019 10:40:00 AM		0.6440 V/m	0.5553 V/m	0.4826 V/m
147	09/23/2019 10:40:10 AM		0.7372 V/m	0.5902 V/m	0.4734 V/m
148	09/23/2019 10:40:20 AM		0.8149 V/m	0.5974 V/m	0.4977 V/m
149	09/23/2019 10:40:30 AM		0.8506 V/m	0.5809 V/m	0.4791 V/m
150	09/23/2019 10:40:40 AM		0.7091 V/m	0.5900 V/m	0.4774 V/m
151	09/23/2019 10:40:50 AM		0.6757 V/m	0.5853 V/m	0.4893 V/m
152	09/23/2019 10:41:00 AM		0.7835 V/m	0.6025 V/m	0.4921 V/m
153	09/23/2019 10:41:10 AM		0.8669 V/m	0.6101 V/m	0.4820 V/m
154	09/23/2019 10:41:20 AM		0.7860 V/m	0.6378 V/m	0.4854 V/m
155	09/23/2019 10:41:30 AM		0.7871 V/m	0.5933 V/m	0.4663 V/m
156	09/23/2019 10:41:40 AM		0.9529 V/m	0.6441 V/m	0.4865 V/m

Index	Date/Time	Zero	Max (E-Field)	Avg (E-Field)	Min (E-Field)
157	09/23/2019 10:41:50 AM		0.8379 V/m	0.6338 V/m	0.4971 V/m
158	09/23/2019 10:42:00 AM		0.8037 V/m	0.6116 V/m	0.4882 V/m
159	09/23/2019 10:42:10 AM		0.8047 V/m	0.6326 V/m	0.4860 V/m
160	09/23/2019 10:42:20 AM		0.9457 V/m	0.6587 V/m	0.4791 V/m
161	09/23/2019 10:42:30 AM		0.8118 V/m	0.6097 V/m	0.4837 V/m
162	09/23/2019 10:42:40 AM		0.6445 V/m	0.5125 V/m	0.4768 V/m
163	09/23/2019 10:42:50 AM		0.7772 V/m	0.5145 V/m	0.4762 V/m
164	09/23/2019 10:43:00 AM		0.6085 V/m	0.5099 V/m	0.4820 V/m
165	09/23/2019 10:43:10 AM		0.7075 V/m	0.5092 V/m	0.4011 V/m
166	09/23/2019 10:43:20 AM		0.7083 V/m	0.5120 V/m	0.4808 V/m
167	09/23/2019 10:43:30 AM		0.5649 V/m	0.5043 V/m	0.4768 V/m
168	09/23/2019 10:43:40 AM		0.6729 V/m	0.5166 V/m	0.4831 V/m
169	09/23/2019 10:43:50 AM		0.6107 V/m	0.5076 V/m	0.4751 V/m
170	09/23/2019 10:44:00 AM		0.6950 V/m	0.5278 V/m	0.4774 V/m
171	09/23/2019 10:44:10 AM		0.6910 V/m	0.5202 V/m	0.4728 V/m
172	09/23/2019 10:44:20 AM		0.6232 V/m	0.5137 V/m	0.4803 V/m
173	09/23/2019 10:44:30 AM		0.5635 V/m	0.5014 V/m	0.4768 V/m
174	09/23/2019 10:44:40 AM		0.7651 V/m	0.5168 V/m	0.4734 V/m
175	09/23/2019 10:44:50 AM		0.6862 V/m	0.5174 V/m	0.4728 V/m
176	09/23/2019 10:45:00 AM		0.6449 V/m	0.5080 V/m	0.4774 V/m
177	09/23/2019 10:45:10 AM		0.5939 V/m	0.5036 V/m	0.4751 V/m
178	09/23/2019 10:45:20 AM		0.7413 V/m	0.5268 V/m	0.4848 V/m
179	09/23/2019 10:45:30 AM		0.5873 V/m	0.5088 V/m	0.4848 V/m
180	09/23/2019 10:45:40 AM		0.5541 V/m	0.5117 V/m	0.4916 V/m
181	09/23/2019 10:45:50 AM		0.5750 V/m	0.5080 V/m	0.4797 V/m
182	09/23/2019 10:46:00 AM		0.6938 V/m	0.5088 V/m	0.4739 V/m
183	09/23/2019 10:46:10 AM		0.5957 V/m	0.5086 V/m	0.4893 V/m
184	09/23/2019 10:46:20 AM		0.6179 V/m	0.5142 V/m	0.4751 V/m
185	09/23/2019 10:46:30 AM		0.6206 V/m	0.5181 V/m	0.4831 V/m
186	09/23/2019 10:46:40 AM		0.6346 V/m	0.5327 V/m	0.4910 V/m
187	09/23/2019 10:46:50 AM		0.6918 V/m	0.5234 V/m	0.4899 V/m
188	09/23/2019 10:47:00 AM		0.6143 V/m	0.5106 V/m	0.4848 V/m
189	09/23/2019 10:47:10 AM		0.5717 V/m	0.5100 V/m	0.4848 V/m
190	09/23/2019 10:47:20 AM		0.7191 V/m	0.5121 V/m	0.4745 V/m
191	09/23/2019 10:47:30 AM		0.7871 V/m	0.5211 V/m	0.4780 V/m
192	09/23/2019 10:47:40 AM		0.6148 V/m	0.5151 V/m	0.4831 V/m
193	09/23/2019 10:47:50 AM		0.5994 V/m	0.5114 V/m	0.4905 V/m
194	09/23/2019 10:48:00 AM		0.6741 V/m	0.5234 V/m	0.4854 V/m
195	09/23/2019 10:48:10 AM		0.5812 V/m	0.5065 V/m	0.4774 V/m
196	09/23/2019 10:48:20 AM		0.6143 V/m	0.5219 V/m	0.4820 V/m
197	09/23/2019 10:48:30 AM		0.6642 V/m	0.5125 V/m	0.4854 V/m
198	09/23/2019 10:48:40 AM		0.7206 V/m	0.5358 V/m	0.4927 V/m
199	09/23/2019 10:48:50 AM		0.5962 V/m	0.5097 V/m	0.4803 V/m
200	09/23/2019 10:49:00 AM		0.5789 V/m	0.5251 V/m	0.5043 V/m
201	09/23/2019 10:49:10 AM		0.5755 V/m	0.5194 V/m	0.4905 V/m
202	09/23/2019 10:49:20 AM		0.6436 V/m	0.5301 V/m	0.4865 V/m
203	09/23/2019 10:49:30 AM		0.6878 V/m	0.5404 V/m	0.4893 V/m
204	09/23/2019 10:49:40 AM		0.7320 V/m	0.5533 V/m	0.5010 V/m
205	09/23/2019 10:49:50 AM		0.7361 V/m	0.5376 V/m	0.4960 V/m
206	09/23/2019 10:50:00 AM		0.6712 V/m	0.5321 V/m	0.4949 V/m
207	09/23/2019 10:50:10 AM		0.5784 V/m	0.5280 V/m	0.4933 V/m
208	09/23/2019 10:50:20 AM		0.6170 V/m	0.5371 V/m	0.4988 V/m
209	09/23/2019 10:50:30 AM		0.5770 V/m	0.5086 V/m	0.4797 V/m
210	09/23/2019 10:50:40 AM		0.7005 V/m	0.5381 V/m	0.4921 V/m

<u>Index</u>	<u>Date/Time</u>	<u>Zero</u>	<u>Max (E-Field)</u>	<u>Avg (E-Field)</u>	<u>Min (E-Field)</u>
211	09/23/2019 10:50:50 AM		0.6398 V/m	0.5340 V/m	0.4971 V/m
212	09/23/2019 10:51:00 AM		0.6906 V/m	0.5302 V/m	0.4960 V/m
213	09/23/2019 10:51:10 AM		0.7409 V/m	0.5256 V/m	0.4888 V/m
214	09/23/2019 10:51:20 AM		0.5971 V/m	0.5257 V/m	0.4960 V/m
215	09/23/2019 10:51:30 AM		0.6053 V/m	0.5149 V/m	0.4837 V/m
216	09/23/2019 10:51:40 AM		0.5755 V/m	0.5111 V/m	0.4843 V/m
217	09/23/2019 10:51:50 AM		0.8464 V/m	0.5419 V/m	0.4814 V/m
218	09/23/2019 10:52:00 AM		0.6757 V/m	0.5203 V/m	0.4814 V/m
219	09/23/2019 10:52:10 AM		0.6700 V/m	0.5127 V/m	0.4843 V/m
220	09/23/2019 10:52:20 AM		0.8118 V/m	0.5290 V/m	0.4865 V/m
221	09/23/2019 10:52:30 AM		0.5712 V/m	0.5106 V/m	0.4826 V/m
222	09/23/2019 10:52:40 AM		0.6245 V/m	0.5140 V/m	0.4837 V/m
223	09/23/2019 10:52:50 AM		0.7083 V/m	0.5209 V/m	0.4871 V/m
224	09/23/2019 10:53:00 AM		0.7846 V/m	0.5251 V/m	0.4774 V/m
225	09/23/2019 10:53:10 AM		0.6094 V/m	0.5107 V/m	0.4774 V/m
226	09/23/2019 10:53:20 AM		0.7919 V/m	0.5347 V/m	0.4808 V/m
227	09/23/2019 10:53:30 AM		0.7044 V/m	0.5326 V/m	0.4865 V/m
228	09/23/2019 10:53:40 AM		0.6517 V/m	0.5243 V/m	0.4854 V/m
229	09/23/2019 10:53:50 AM		0.6402 V/m	0.5277 V/m	0.4871 V/m
230	09/23/2019 10:54:00 AM		0.7888 V/m	0.5268 V/m	0.4871 V/m
231	09/23/2019 10:54:10 AM		0.6367 V/m	0.5323 V/m	0.4905 V/m
232	09/23/2019 10:54:20 AM		0.6372 V/m	0.5375 V/m	0.4899 V/m
233	09/23/2019 10:54:30 AM		0.6342 V/m	0.5327 V/m	0.4999 V/m
234	09/23/2019 10:54:40 AM		0.6491 V/m	0.5194 V/m	0.4865 V/m
235	09/23/2019 10:54:50 AM		0.7560 V/m	0.5205 V/m	0.4865 V/m
236	09/23/2019 10:55:00 AM		0.7758 V/m	0.5317 V/m	0.4882 V/m
237	09/23/2019 10:55:10 AM		0.6201 V/m	0.5188 V/m	0.4916 V/m
238	09/23/2019 10:55:20 AM		0.6724 V/m	0.5203 V/m	0.4888 V/m
239	09/23/2019 10:55:30 AM		0.7290 V/m	0.5515 V/m	0.4888 V/m
240	09/23/2019 10:55:40 AM		0.5920 V/m	0.5173 V/m	0.4888 V/m
241	09/23/2019 10:55:50 AM		0.7662 V/m	0.5190 V/m	0.4825 V/m
242	09/23/2019 10:56:00 AM		0.6076 V/m	0.5113 V/m	0.4860 V/m
243	09/23/2019 10:56:10 AM		0.6432 V/m	0.5194 V/m	0.4944 V/m
244	09/23/2019 10:56:20 AM		0.6012 V/m	0.5103 V/m	0.4843 V/m
245	09/23/2019 10:56:30 AM		0.5845 V/m	0.5092 V/m	0.4808 V/m
246	09/23/2019 10:56:40 AM		0.7476 V/m	0.5208 V/m	0.4871 V/m
247	09/23/2019 10:56:50 AM		0.6406 V/m	0.5238 V/m	0.4893 V/m
248	09/23/2019 10:57:00 AM		0.6846 V/m	0.5220 V/m	0.4899 V/m
249	09/23/2019 10:57:10 AM		0.5717 V/m	0.5123 V/m	0.4843 V/m
250	09/23/2019 10:57:20 AM		0.5925 V/m	0.5157 V/m	0.4751 V/m
251	09/23/2019 10:57:30 AM		0.7937 V/m	0.5543 V/m	0.4949 V/m
252	09/23/2019 10:57:40 AM		0.6398 V/m	0.5065 V/m	0.4704 V/m
253	09/23/2019 10:57:50 AM		0.5883 V/m	0.5034 V/m	0.4568 V/m
254	09/23/2019 10:58:00 AM		0.6724 V/m	0.5194 V/m	0.4843 V/m
255	09/23/2019 10:58:10 AM		0.7951 V/m	0.5350 V/m	0.4876 V/m
256	09/23/2019 10:58:20 AM		0.7114 V/m	0.5414 V/m	0.4960 V/m
257	09/23/2019 10:58:30 AM		0.7737 V/m	0.5165 V/m	0.4814 V/m
258	09/23/2019 10:58:40 AM		0.7365 V/m	0.5149 V/m	0.4791 V/m
259	09/23/2019 10:58:50 AM		0.5654 V/m	0.5085 V/m	0.4785 V/m
260	09/23/2019 10:59:00 AM		0.7722 V/m	0.5355 V/m	0.4734 V/m
261	09/23/2019 10:59:10 AM		0.5481 V/m	0.5050 V/m	0.4785 V/m
262	09/23/2019 10:59:20 AM		0.6175 V/m	0.5139 V/m	0.4837 V/m
263	09/23/2019 10:59:30 AM		0.6634 V/m	0.5304 V/m	0.4916 V/m
264	09/23/2019 10:59:40 AM		0.6130 V/m	0.5146 V/m	0.4820 V/m

<u>Index</u>	<u>Date/Time</u>	<u>Zero</u>	<u>Max (E-Field)</u>	<u>Avg (E-Field)</u>	<u>Min (E-Field)</u>
265	09/23/2019 10:59:50 AM		0.7629 V/m	0.5723 V/m	0.4354 V/m
266	09/23/2019 11:00:00 AM		0.7380 V/m	0.5758 V/m	0.5313 V/m
267	09/23/2019 11:00:10 AM		0.7199 V/m	0.5694 V/m	0.5308 V/m
268	09/23/2019 11:00:20 AM		0.7317 V/m	0.5748 V/m	0.5262 V/m
269	09/23/2019 11:00:30 AM		0.7817 V/m	0.5820 V/m	0.3646 V/m
270	09/23/2019 11:00:40 AM		0.7761 V/m	0.5248 V/m	0.4397 V/m
271	09/23/2019 11:00:50 AM		0.6389 V/m	0.5344 V/m	0.4676 V/m
272	09/23/2019 11:01:00 AM		0.5683 V/m	0.5250 V/m	0.5010 V/m
273	09/23/2019 11:01:10 AM		0.6368 V/m	0.5242 V/m	0.4971 V/m
274	09/23/2019 11:01:20 AM		0.6333 V/m	0.5167 V/m	0.4933 V/m
275	09/23/2019 11:01:30 AM		0.8464 V/m	0.5330 V/m	0.4944 V/m
276	09/23/2019 11:01:40 AM		0.5750 V/m	0.5251 V/m	0.5032 V/m
277	09/23/2019 11:01:50 AM		0.7661 V/m	0.5440 V/m	0.4993 V/m
278	09/23/2019 11:02:00 AM		0.7316 V/m	0.5358 V/m	0.4977 V/m
279	09/23/2019 11:02:10 AM		0.8457 V/m	0.5471 V/m	0.4888 V/m
280	09/23/2019 11:02:20 AM		0.7118 V/m	0.5535 V/m	0.5108 V/m
281	09/23/2019 11:02:30 AM		0.7568 V/m	0.5629 V/m	0.4982 V/m
282	09/23/2019 11:02:40 AM		0.7557 V/m	0.5332 V/m	0.4944 V/m
283	09/23/2019 11:02:50 AM		0.7458 V/m	0.5544 V/m	0.5070 V/m
284	09/23/2019 11:03:00 AM		0.7509 V/m	0.5449 V/m	0.4982 V/m
285	09/23/2019 11:03:10 AM		0.7324 V/m	0.5464 V/m	0.4826 V/m
286	09/23/2019 11:03:20 AM		0.8118 V/m	0.5496 V/m	0.4893 V/m
287	09/23/2019 11:03:30 AM		0.7110 V/m	0.5564 V/m	0.5086 V/m
288	09/23/2019 11:03:40 AM		0.6241 V/m	0.5413 V/m	0.5015 V/m
289	09/23/2019 11:03:50 AM		0.6376 V/m	0.5413 V/m	0.5004 V/m
290	09/23/2019 11:04:00 AM		0.5957 V/m	0.5419 V/m	0.4848 V/m
291	09/23/2019 11:04:10 AM		0.6193 V/m	0.5346 V/m	0.5010 V/m
292	09/23/2019 11:04:20 AM		0.6215 V/m	0.5418 V/m	0.5086 V/m
293	09/23/2019 11:04:30 AM		0.6179 V/m	0.5299 V/m	0.4905 V/m
294	09/23/2019 11:04:40 AM		0.6179 V/m	0.5369 V/m	0.5118 V/m
295	09/23/2019 11:04:50 AM		0.6259 V/m	0.5346 V/m	0.5026 V/m
296	09/23/2019 11:05:00 AM		0.6192 V/m	0.5402 V/m	0.5145 V/m
297	09/23/2019 11:05:10 AM		0.5901 V/m	0.5307 V/m	0.5064 V/m
298	09/23/2019 11:05:20 AM		0.6143 V/m	0.5356 V/m	0.4933 V/m
299	09/23/2019 11:05:30 AM		0.6179 V/m	0.5237 V/m	0.5010 V/m
300	09/23/2019 11:05:40 AM		0.6798 V/m	0.5440 V/m	0.5059 V/m
301	09/23/2019 11:05:50 AM		0.7822 V/m	0.5487 V/m	0.4982 V/m
302	09/23/2019 11:06:00 AM		0.6462 V/m	0.5282 V/m	0.4854 V/m
303	09/23/2019 11:06:10 AM		0.6642 V/m	0.5253 V/m	0.4927 V/m
304	09/23/2019 11:06:20 AM		0.7902 V/m	0.5430 V/m	0.4882 V/m
305	09/23/2019 11:06:30 AM		0.6906 V/m	0.5317 V/m	0.4927 V/m
306	09/23/2019 11:06:40 AM		0.7380 V/m	0.5343 V/m	0.4877 V/m
307	09/23/2019 11:06:50 AM		0.8622 V/m	0.5490 V/m	0.4882 V/m
308	09/23/2019 11:07:00 AM		0.5841 V/m	0.5156 V/m	0.4899 V/m
309	09/23/2019 11:07:10 AM		0.7509 V/m	0.5207 V/m	0.4797 V/m
310	09/23/2019 11:07:20 AM		0.6741 V/m	0.5448 V/m	0.5004 V/m
311	09/23/2019 11:07:30 AM		0.7524 V/m	0.5557 V/m	0.4982 V/m
312	09/23/2019 11:07:40 AM		0.5911 V/m	0.5253 V/m	0.5004 V/m
313	09/23/2019 11:07:50 AM		0.7387 V/m	0.5565 V/m	0.4971 V/m
314	09/23/2019 11:08:00 AM		0.6030 V/m	0.5219 V/m	0.4988 V/m
315	09/23/2019 11:08:10 AM		0.6622 V/m	0.5367 V/m	0.4966 V/m
316	09/23/2019 11:08:20 AM		0.6003 V/m	0.5238 V/m	0.4882 V/m
317	09/23/2019 11:08:30 AM		0.6143 V/m	0.5191 V/m	0.4882 V/m
318	09/23/2019 11:08:40 AM		0.6882 V/m	0.5353 V/m	0.4999 V/m



<u>Index</u>	<u>Date/Time</u>	<u>Zero</u>	<u>Max (E-Field)</u>	<u>Avg (E-Field)</u>	<u>Min (E-Field)</u>
319	09/23/2019 11:08:50 AM		0.6605 V/m	0.5317 V/m	0.4982 V/m
320	09/23/2019 11:09:00 AM		0.6259 V/m	0.5279 V/m	0.4893 V/m
321	09/23/2019 11:09:10 AM		0.7106 V/m	0.5427 V/m	0.4905 V/m
322	09/23/2019 11:09:20 AM		0.7885 V/m	0.5337 V/m	0.4865 V/m
323	09/23/2019 11:09:30 AM		0.6862 V/m	0.5372 V/m	0.4848 V/m
324	09/23/2019 11:09:40 AM		0.7335 V/m	0.5506 V/m	0.5043 V/m
325	09/23/2019 11:09:50 AM		0.6894 V/m	0.5439 V/m	0.5102 V/m
326	09/23/2019 11:10:00 AM		0.8169 V/m	0.5451 V/m	0.4999 V/m
327	09/23/2019 11:10:10 AM		0.7278 V/m	0.5525 V/m	0.5118 V/m
328	09/23/2019 11:10:20 AM		0.7480 V/m	0.5570 V/m	0.5043 V/m
329	09/23/2019 11:10:30 AM		0.7971 V/m	0.5643 V/m	0.4949 V/m
330	09/23/2019 11:10:40 AM		0.8256 V/m	0.5702 V/m	0.5064 V/m
331	09/23/2019 11:10:50 AM		0.7118 V/m	0.5440 V/m	0.5021 V/m
332	09/23/2019 11:11:00 AM		0.6121 V/m	0.5272 V/m	0.4971 V/m
333	09/23/2019 11:11:10 AM		0.6483 V/m	0.5459 V/m	0.5064 V/m
334	09/23/2019 11:11:20 AM		0.6302 V/m	0.5368 V/m	0.5026 V/m
335	09/23/2019 11:11:30 AM		0.8398 V/m	0.5618 V/m	0.4977 V/m
336	09/23/2019 11:11:40 AM		0.5929 V/m	0.5253 V/m	0.5054 V/m
337	09/23/2019 11:11:50 AM		0.6184 V/m	0.5269 V/m	0.4971 V/m
338	09/23/2019 11:12:00 AM		0.6878 V/m	0.5350 V/m	0.4960 V/m
339	09/23/2019 11:12:10 AM		0.7498 V/m	0.5409 V/m	0.4905 V/m
340	09/23/2019 11:12:20 AM		0.6684 V/m	0.5285 V/m	0.4966 V/m
341	09/23/2019 11:12:30 AM		0.5779 V/m	0.5188 V/m	0.4905 V/m
342	09/23/2019 11:12:40 AM		0.6289 V/m	0.5211 V/m	0.4910 V/m
343	09/23/2019 11:12:50 AM		0.5864 V/m	0.5144 V/m	0.4826 V/m
344	09/23/2019 11:13:00 AM		0.6914 V/m	0.5351 V/m	0.4860 V/m
345	09/23/2019 11:13:10 AM		0.6116 V/m	0.5209 V/m	0.4993 V/m
346	09/23/2019 11:13:20 AM		0.6761 V/m	0.5328 V/m	0.4999 V/m
347	09/23/2019 11:13:30 AM		0.7141 V/m	0.5387 V/m	0.5081 V/m
348	09/23/2019 11:13:40 AM		0.7740 V/m	0.5700 V/m	0.5054 V/m
349	09/23/2019 11:13:50 AM		0.8405 V/m	0.5642 V/m	0.5092 V/m
350	09/23/2019 11:14:00 AM		0.7294 V/m	0.5438 V/m	0.5092 V/m
351	09/23/2019 11:14:10 AM		0.7669 V/m	0.5421 V/m	0.4899 V/m
352	09/23/2019 11:14:20 AM		0.6985 V/m	0.5365 V/m	0.4999 V/m
353	09/23/2019 11:14:30 AM		0.7071 V/m	0.5268 V/m	0.4927 V/m
354	09/23/2019 11:14:40 AM		0.7282 V/m	0.5312 V/m	0.4977 V/m
355	09/23/2019 11:14:50 AM		0.7248 V/m	0.5237 V/m	0.4899 V/m
356	09/23/2019 11:15:00 AM		0.7361 V/m	0.5279 V/m	0.4899 V/m
357	09/23/2019 11:15:10 AM		0.6773 V/m	0.5269 V/m	0.5010 V/m
358	09/23/2019 11:15:20 AM		0.7079 V/m	0.5343 V/m	0.4966 V/m
359	09/23/2019 11:15:30 AM		0.7607 V/m	0.5243 V/m	0.4808 V/m
360	09/23/2019 11:15:40 AM		0.7818 V/m	0.5763 V/m	0.4960 V/m
361	09/23/2019 11:15:50 AM		0.7839 V/m	0.5297 V/m	0.4977 V/m
362	09/23/2019 11:16:00 AM		0.5883 V/m	0.5226 V/m	0.4921 V/m
363	09/23/2019 11:16:10 AM		0.6415 V/m	0.5294 V/m	0.4933 V/m
364	09/23/2019 11:16:20 AM		0.8119 V/m	0.5303 V/m	0.4837 V/m
365	09/23/2019 11:16:30 AM		0.5952 V/m	0.5189 V/m	0.4877 V/m
366	09/23/2019 11:16:40 AM		0.8395 V/m	0.5418 V/m	0.5037 V/m
367	09/23/2019 11:16:50 AM		0.8711 V/m	0.5845 V/m	0.4910 V/m
368	09/23/2019 11:17:00 AM		0.6121 V/m	0.5243 V/m	0.4865 V/m
369	09/23/2019 11:17:10 AM		0.7905 V/m	0.5530 V/m	0.4966 V/m
370	09/23/2019 11:17:20 AM		0.6802 V/m	0.5372 V/m	0.4977 V/m
371	09/23/2019 11:17:30 AM		0.6538 V/m	0.5323 V/m	0.5015 V/m
372	09/23/2019 11:17:40 AM		0.7524 V/m	0.5594 V/m	0.4999 V/m

Index	Date/Time	Zero	Max (E-Field)	Avg (E-Field)	Min (E-Field)
373	09/23/2019 11:17:50 AM		0.6886 V/m	0.5421 V/m	0.4944 V/m
374	09/23/2019 11:18:00 AM		0.7324 V/m	0.5415 V/m	0.5026 V/m
375	09/23/2019 11:18:10 AM		0.8799 V/m	0.6575 V/m	0.5151 V/m
376	09/23/2019 11:18:20 AM		0.6049 V/m	0.5365 V/m	0.5070 V/m
377	09/23/2019 11:18:30 AM		0.6035 V/m	0.5420 V/m	0.5161 V/m
378	09/23/2019 11:18:40 AM		0.6946 V/m	0.5384 V/m	0.5015 V/m
379	09/23/2019 11:18:50 AM		0.6285 V/m	0.5418 V/m	0.5113 V/m
380	09/23/2019 11:19:00 AM		0.6276 V/m	0.5405 V/m	0.5064 V/m
381	09/23/2019 11:19:10 AM		0.7933 V/m	0.5944 V/m	0.5064 V/m
382	09/23/2019 11:19:20 AM		0.6372 V/m	0.5252 V/m	0.4977 V/m
383	09/23/2019 11:19:30 AM		0.6232 V/m	0.5253 V/m	0.4999 V/m
384	09/23/2019 11:19:40 AM		0.8230 V/m	0.5735 V/m	0.4999 V/m
385	09/23/2019 11:19:50 AM		0.6962 V/m	0.5267 V/m	0.4988 V/m
386	09/23/2019 11:20:00 AM		0.6157 V/m	0.5213 V/m	0.4977 V/m
387	09/23/2019 11:20:10 AM		0.7947 V/m	0.5680 V/m	0.4899 V/m
388	09/23/2019 11:20:20 AM		0.7491 V/m	0.5565 V/m	0.4877 V/m
389	09/23/2019 11:20:30 AM		0.6411 V/m	0.5261 V/m	0.4971 V/m
390	09/23/2019 11:20:40 AM		0.6259 V/m	0.5374 V/m	0.5043 V/m
391	09/23/2019 11:20:50 AM		0.6406 V/m	0.5387 V/m	0.5048 V/m
392	09/23/2019 11:21:00 AM		0.7133 V/m	0.5353 V/m	0.4993 V/m
393	09/23/2019 11:21:10 AM		0.6500 V/m	0.5324 V/m	0.4982 V/m
394	09/23/2019 11:21:20 AM		0.7944 V/m	0.5367 V/m	0.4916 V/m
395	09/23/2019 11:21:30 AM		0.8415 V/m	0.6105 V/m	0.5037 V/m
396	09/23/2019 11:21:40 AM		0.7654 V/m	0.5387 V/m	0.5004 V/m
397	09/23/2019 11:21:50 AM		0.8081 V/m	0.5450 V/m	0.4927 V/m
398	09/23/2019 11:22:00 AM		0.7052 V/m	0.5381 V/m	0.4988 V/m
399	09/23/2019 11:22:10 AM		0.8313 V/m	0.5387 V/m	0.4871 V/m
400	09/23/2019 11:22:20 AM		0.8587 V/m	0.5449 V/m	0.4933 V/m
401	09/23/2019 11:22:30 AM		0.6152 V/m	0.5260 V/m	0.4933 V/m
402	09/23/2019 11:22:40 AM		0.6926 V/m	0.5200 V/m	0.4837 V/m
403	09/23/2019 11:22:50 AM		0.6679 V/m	0.5167 V/m	0.4860 V/m
404	09/23/2019 11:23:00 AM		0.6040 V/m	0.5147 V/m	0.4848 V/m
405	09/23/2019 11:23:10 AM		0.5727 V/m	0.5171 V/m	0.4877 V/m
406	09/23/2019 11:23:20 AM		0.6798 V/m	0.5213 V/m	0.4854 V/m
407	09/23/2019 11:23:30 AM		0.7546 V/m	0.5269 V/m	0.4860 V/m
408	09/23/2019 11:23:40 AM		0.7149 V/m	0.5191 V/m	0.4848 V/m
409	09/23/2019 11:23:50 AM		0.6302 V/m	0.5162 V/m	0.4786 V/m
410	09/23/2019 11:24:00 AM		0.6597 V/m	0.5283 V/m	0.4999 V/m
411	09/23/2019 11:24:10 AM		0.7636 V/m	0.5271 V/m	0.4854 V/m
412	09/23/2019 11:24:20 AM		0.5664 V/m	0.5112 V/m	0.4960 V/m
413	09/23/2019 11:24:30 AM		0.5962 V/m	0.5167 V/m	0.4921 V/m
414	09/23/2019 11:24:40 AM		0.7335 V/m	0.5290 V/m	0.4938 V/m
415	09/23/2019 11:24:50 AM		0.6254 V/m	0.5198 V/m	0.4916 V/m
416	09/23/2019 11:25:00 AM		0.6192 V/m	0.5251 V/m	0.4999 V/m
417	09/23/2019 11:25:10 AM		0.6134 V/m	0.5242 V/m	0.4977 V/m
418	09/23/2019 11:25:20 AM		0.7513 V/m	0.5478 V/m	0.4949 V/m
419	09/23/2019 11:25:30 AM		0.7776 V/m	0.5398 V/m	0.4837 V/m
420	09/23/2019 11:25:40 AM		0.6030 V/m	0.5142 V/m	0.4871 V/m
421	09/23/2019 11:25:50 AM		0.7505 V/m	0.5303 V/m	0.4831 V/m
422	09/23/2019 11:26:00 AM		0.6372 V/m	0.5185 V/m	0.4927 V/m
423	09/23/2019 11:26:10 AM		0.7658 V/m	0.5426 V/m	0.4854 V/m
424	09/23/2019 11:26:20 AM		0.7825 V/m	0.5215 V/m	0.4882 V/m
425	09/23/2019 11:26:30 AM		0.7895 V/m	0.5601 V/m	0.4865 V/m
426	09/23/2019 11:26:40 AM		0.5989 V/m	0.5270 V/m	0.4927 V/m

Index	Date/Time	Zero	Max (E-Field)	Avg (E-Field)	Min (E-Field)
427	09/23/2019 11:26:50 AM		0.6188 V/m	0.5228 V/m	0.4910 V/m
428	09/23/2019 11:27:00 AM		0.6183 V/m	0.5139 V/m	0.4899 V/m
429	09/23/2019 11:27:10 AM		0.5975 V/m	0.5087 V/m	0.4899 V/m
430	09/23/2019 11:27:20 AM		0.5698 V/m	0.5103 V/m	0.4825 V/m
431	09/23/2019 11:27:30 AM		0.5966 V/m	0.5131 V/m	0.4860 V/m
432	09/23/2019 11:27:40 AM		0.7814 V/m	0.6029 V/m	0.4977 V/m
433	09/23/2019 11:27:50 AM		0.7850 V/m	0.5601 V/m	0.4871 V/m
434	09/23/2019 11:28:00 AM		0.8009 V/m	0.6025 V/m	0.4888 V/m
435	09/23/2019 11:28:10 AM		0.7807 V/m	0.5579 V/m	0.5021 V/m
436	09/23/2019 11:28:20 AM		0.8166 V/m	0.5602 V/m	0.4893 V/m
437	09/23/2019 11:28:30 AM		0.8500 V/m	0.5608 V/m	0.4921 V/m
438	09/23/2019 11:28:40 AM		0.8067 V/m	0.5817 V/m	0.4933 V/m
439	09/23/2019 11:28:50 AM		0.8836 V/m	0.6494 V/m	0.4871 V/m
440	09/23/2019 11:29:00 AM		0.7179 V/m	0.5462 V/m	0.4899 V/m
441	09/23/2019 11:29:10 AM		0.6692 V/m	0.5235 V/m	0.4938 V/m
442	09/23/2019 11:29:20 AM		0.6572 V/m	0.5204 V/m	0.4848 V/m
443	09/23/2019 11:29:30 AM		0.7286 V/m	0.5378 V/m	0.4921 V/m
444	09/23/2019 11:29:40 AM		0.6584 V/m	0.5286 V/m	0.4921 V/m
445	09/23/2019 11:29:50 AM		0.8606 V/m	0.5922 V/m	0.4910 V/m
446	09/23/2019 11:30:00 AM		0.8336 V/m	0.6330 V/m	0.5065 V/m
447	09/23/2019 11:30:10 AM		0.8552 V/m	0.6225 V/m	0.4999 V/m
448	09/23/2019 11:30:20 AM		0.7758 V/m	0.5948 V/m	0.4944 V/m
449	09/23/2019 11:30:30 AM		0.8628 V/m	0.6312 V/m	0.5048 V/m
450	09/23/2019 11:30:40 AM		0.7622 V/m	0.5896 V/m	0.4955 V/m
451	09/23/2019 11:30:50 AM		0.7701 V/m	0.5916 V/m	0.5054 V/m
452	09/23/2019 11:31:00 AM		0.8122 V/m	0.6151 V/m	0.5081 V/m
453	09/23/2019 11:31:10 AM		0.8461 V/m	0.6057 V/m	0.5010 V/m
454	09/23/2019 11:31:20 AM		0.7369 V/m	0.5657 V/m	0.4910 V/m
455	09/23/2019 11:31:30 AM		0.6898 V/m	0.5325 V/m	0.4955 V/m
456	09/23/2019 11:31:40 AM		0.7712 V/m	0.5274 V/m	0.4905 V/m
457	09/23/2019 11:31:50 AM		0.8230 V/m	0.5563 V/m	0.5102 V/m
458	09/23/2019 11:32:00 AM		0.6655 V/m	0.5336 V/m	0.4882 V/m
459	09/23/2019 11:32:10 AM		0.7229 V/m	0.5507 V/m	0.4971 V/m
460	09/23/2019 11:32:20 AM		0.8515 V/m	0.6157 V/m	0.4999 V/m
461	09/23/2019 11:32:30 AM		0.8490 V/m	0.6386 V/m	0.5004 V/m
462	09/23/2019 11:32:40 AM		0.9239 V/m	0.6899 V/m	0.5037 V/m
463	09/23/2019 11:32:50 AM		0.8509 V/m	0.6295 V/m	0.5005 V/m
464	09/23/2019 11:33:00 AM		0.8701 V/m	0.5752 V/m	0.4993 V/m
465	09/23/2019 11:33:10 AM		0.9834 V/m	0.6300 V/m	0.4910 V/m
466	09/23/2019 11:33:20 AM		0.9465 V/m	0.6695 V/m	0.4899 V/m
467	09/23/2019 11:33:30 AM		0.9226 V/m	0.7074 V/m	0.5081 V/m
468	09/23/2019 11:33:40 AM		0.8612 V/m	0.6824 V/m	0.4977 V/m
469	09/23/2019 11:33:50 AM		0.8319 V/m	0.5998 V/m	0.4786 V/m
470	09/23/2019 11:34:00 AM		0.8978 V/m	0.6617 V/m	0.4960 V/m
471	09/23/2019 11:34:10 AM		0.8685 V/m	0.6466 V/m	0.4933 V/m
472	09/23/2019 11:34:20 AM		0.8805 V/m	0.6707 V/m	0.4882 V/m
473	09/23/2019 11:34:30 AM		1.004 V/m	0.6921 V/m	0.5059 V/m
474	09/23/2019 11:34:40 AM		0.8901 V/m	0.6564 V/m	0.5021 V/m
475	09/23/2019 11:34:50 AM		0.8467 V/m	0.6257 V/m	0.4944 V/m
476	09/23/2019 11:35:00 AM		0.8606 V/m	0.6815 V/m	0.4966 V/m
477	09/23/2019 11:35:10 AM		0.8573 V/m	0.6521 V/m	0.4938 V/m
478	09/23/2019 11:35:20 AM		0.8764 V/m	0.6812 V/m	0.4983 V/m
479	09/23/2019 11:35:30 AM		0.8625 V/m	0.6721 V/m	0.4865 V/m
480	09/23/2019 11:35:40 AM		0.9839 V/m	0.7071 V/m	0.4971 V/m

<u>Index</u>	<u>Date/Time</u>	<u>Zero</u>	<u>Max (E-Field)</u>	<u>Avg (E-Field)</u>	<u>Min (E-Field)</u>
481	09/23/2019 11:35:50 AM		0.9085 V/m	0.6892 V/m	0.4927 V/m
482	09/23/2019 11:36:00 AM		1.019 V/m	0.7039 V/m	0.4971 V/m
483	09/23/2019 11:36:10 AM		1.025 V/m	0.7419 V/m	0.4933 V/m
484	09/23/2019 11:36:20 AM		0.9526 V/m	0.6685 V/m	0.4944 V/m
485	09/23/2019 11:36:30 AM		0.8596 V/m	0.6840 V/m	0.4893 V/m
486	09/23/2019 11:36:40 AM		0.8917 V/m	0.6907 V/m	0.5119 V/m
487	09/23/2019 11:36:50 AM		1.004 V/m	0.7066 V/m	0.5065 V/m
488	09/23/2019 11:37:00 AM		0.9009 V/m	0.6947 V/m	0.5021 V/m
489	09/23/2019 11:37:10 AM		0.9363 V/m	0.6920 V/m	0.5081 V/m
490	09/23/2019 11:37:20 AM		0.8758 V/m	0.6955 V/m	0.4999 V/m
491	09/23/2019 11:37:30 AM		0.9721 V/m	0.7276 V/m	0.5081 V/m
492	09/23/2019 11:37:40 AM		0.8892 V/m	0.6945 V/m	0.5015 V/m
493	09/23/2019 11:37:50 AM		0.8612 V/m	0.6777 V/m	0.4922 V/m
494	09/23/2019 11:38:00 AM		0.8698 V/m	0.6910 V/m	0.4983 V/m
495	09/23/2019 11:38:10 AM		1.086 V/m	0.7367 V/m	0.4877 V/m
496	09/23/2019 11:38:20 AM		1.013 V/m	0.7005 V/m	0.4910 V/m
497	09/23/2019 11:38:30 AM		0.9039 V/m	0.7219 V/m	0.4865 V/m
498	09/23/2019 11:38:40 AM		0.8512 V/m	0.6828 V/m	0.4994 V/m
499	09/23/2019 11:38:50 AM		0.8764 V/m	0.7018 V/m	0.4826 V/m
500	09/23/2019 11:39:00 AM		0.8612 V/m	0.7001 V/m	0.4949 V/m
501	09/23/2019 11:39:10 AM		0.8948 V/m	0.7163 V/m	0.5043 V/m
502	09/23/2019 11:39:20 AM		0.8609 V/m	0.6469 V/m	0.5015 V/m
503	09/23/2019 11:39:30 AM		0.8688 V/m	0.7072 V/m	0.4938 V/m
504	09/23/2019 11:39:40 AM		0.9082 V/m	0.7289 V/m	0.5021 V/m
505	09/23/2019 11:39:50 AM		0.8932 V/m	0.6874 V/m	0.4983 V/m
506	09/23/2019 11:40:00 AM		0.9094 V/m	0.7017 V/m	0.5010 V/m
507	09/23/2019 11:40:10 AM		0.8895 V/m	0.5740 V/m	0.4994 V/m
508	09/23/2019 11:40:20 AM		0.8695 V/m	0.7128 V/m	0.5032 V/m
509	09/23/2019 11:40:30 AM		0.8711 V/m	0.6725 V/m	0.5230 V/m
510	09/23/2019 11:40:40 AM		0.9212 V/m	0.7314 V/m	0.5124 V/m
511	09/23/2019 11:40:50 AM		0.9474 V/m	0.7202 V/m	0.4780 V/m
512	09/23/2019 11:41:00 AM		1.026 V/m	0.7206 V/m	0.4905 V/m
513	09/23/2019 11:41:10 AM		0.8770 V/m	0.6128 V/m	0.4927 V/m
514	09/23/2019 11:41:20 AM		0.9058 V/m	0.6943 V/m	0.4933 V/m
515	09/23/2019 11:41:30 AM		0.9142 V/m	0.7288 V/m	0.4905 V/m
516	09/23/2019 11:41:40 AM		0.9803 V/m	0.7087 V/m	0.4927 V/m
517	09/23/2019 11:41:50 AM		0.9055 V/m	0.7000 V/m	0.5015 V/m
518	09/23/2019 11:42:00 AM		0.9509 V/m	0.7764 V/m	0.5108 V/m
519	09/23/2019 11:42:10 AM		0.9313 V/m	0.7104 V/m	0.5102 V/m
520	09/23/2019 11:42:20 AM		0.9724 V/m	0.7210 V/m	0.5010 V/m
521	09/23/2019 11:42:30 AM		1.042 V/m	0.7006 V/m	0.4922 V/m
522	09/23/2019 11:42:40 AM		0.9212 V/m	0.7389 V/m	0.4988 V/m
523	09/23/2019 11:42:50 AM		1.064 V/m	0.7387 V/m	0.5113 V/m
524	09/23/2019 11:43:00 AM		1.005 V/m	0.7304 V/m	0.5016 V/m
525	09/23/2019 11:43:10 AM		0.9232 V/m	0.7473 V/m	0.5043 V/m
526	09/23/2019 11:43:20 AM		0.8861 V/m	0.7564 V/m	0.5102 V/m
527	09/23/2019 11:43:30 AM		1.006 V/m	0.7400 V/m	0.5113 V/m
528	09/23/2019 11:43:40 AM		0.8935 V/m	0.7257 V/m	0.4905 V/m
529	09/23/2019 11:43:50 AM		1.035 V/m	0.7833 V/m	0.5308 V/m
530	09/23/2019 11:44:00 AM		0.9887 V/m	0.7286 V/m	0.4910 V/m
531	09/23/2019 11:44:10 AM		0.8647 V/m	0.6979 V/m	0.5043 V/m
532	09/23/2019 11:44:20 AM		0.8904 V/m	0.7337 V/m	0.5188 V/m
533	09/23/2019 11:44:30 AM		0.9512 V/m	0.6956 V/m	0.4966 V/m
534	09/23/2019 11:44:40 AM		0.8758 V/m	0.6983 V/m	0.5135 V/m

Index	Date/Time	Zero	Max (E-Field)	Avg (E-Field)	Min (E-Field)
535	09/23/2019 11:44:50 AM		1.050 V/m	0.7631 V/m	0.5102 V/m
536	09/23/2019 11:45:00 AM		0.9003 V/m	0.7068 V/m	0.5037 V/m
537	09/23/2019 11:45:10 AM		1.065 V/m	0.7664 V/m	0.5188 V/m
538	09/23/2019 11:45:20 AM		0.8663 V/m	0.7303 V/m	0.5135 V/m
539	09/23/2019 11:45:30 AM		0.9027 V/m	0.7299 V/m	0.5048 V/m
540	09/23/2019 11:45:40 AM		1.018 V/m	0.7911 V/m	0.5021 V/m
541	09/23/2019 11:45:50 AM		1.083 V/m	0.8266 V/m	0.4961 V/m
542	09/23/2019 11:46:00 AM		0.8792 V/m	0.7358 V/m	0.5021 V/m
543	09/23/2019 11:46:10 AM		0.9538 V/m	0.7975 V/m	0.5214 V/m
544	09/23/2019 11:46:20 AM		0.9342 V/m	0.6887 V/m	0.4994 V/m
545	09/23/2019 11:46:30 AM		0.9451 V/m	0.7228 V/m	0.4966 V/m
546	09/23/2019 11:46:40 AM		0.8811 V/m	0.6925 V/m	0.4949 V/m
547	09/23/2019 11:46:50 AM		0.9491 V/m	0.7615 V/m	0.4972 V/m
548	09/23/2019 11:47:00 AM		1.025 V/m	0.7450 V/m	0.4877 V/m
549	09/23/2019 11:47:10 AM		0.9157 V/m	0.7332 V/m	0.5021 V/m
550	09/23/2019 11:47:20 AM		0.8972 V/m	0.7116 V/m	0.5119 V/m
551	09/23/2019 11:47:30 AM		1.028 V/m	0.8227 V/m	0.5124 V/m
552	09/23/2019 11:47:40 AM		0.9486 V/m	0.7479 V/m	0.4944 V/m
553	09/23/2019 11:47:50 AM		0.9693 V/m	0.7872 V/m	0.5097 V/m
554	09/23/2019 11:48:00 AM		1.104 V/m	0.7558 V/m	0.5005 V/m
555	09/23/2019 11:48:10 AM		0.8911 V/m	0.7985 V/m	0.5086 V/m
556	09/23/2019 11:48:20 AM		0.9389 V/m	0.7417 V/m	0.5043 V/m
557	09/23/2019 11:48:30 AM		0.9121 V/m	0.6578 V/m	0.5059 V/m
558	09/23/2019 11:48:40 AM		1.009 V/m	0.7938 V/m	0.5140 V/m
559	09/23/2019 11:48:50 AM		0.8994 V/m	0.7019 V/m	0.4977 V/m
560	09/23/2019 11:49:00 AM		0.8852 V/m	0.6833 V/m	0.4983 V/m
561	09/23/2019 11:49:10 AM		0.9526 V/m	0.7980 V/m	0.4949 V/m
562	09/23/2019 11:49:20 AM		1.046 V/m	0.7067 V/m	0.4955 V/m
563	09/23/2019 11:49:30 AM		0.8704 V/m	0.6760 V/m	0.5043 V/m
564	09/23/2019 11:49:40 AM		0.9088 V/m	0.7832 V/m	0.5140 V/m
565	09/23/2019 11:49:50 AM		1.018 V/m	0.8175 V/m	0.4955 V/m
566	09/23/2019 11:50:00 AM		0.9061 V/m	0.6957 V/m	0.5235 V/m
567	09/23/2019 11:50:10 AM		1.046 V/m	0.7458 V/m	0.4999 V/m
568	09/23/2019 11:50:20 AM		1.009 V/m	0.8045 V/m	0.5129 V/m
569	09/23/2019 11:50:30 AM		0.9064 V/m	0.7334 V/m	0.5021 V/m
570	09/23/2019 11:50:40 AM		0.9127 V/m	0.6515 V/m	0.5081 V/m
571	09/23/2019 11:50:50 AM		0.9194 V/m	0.7593 V/m	0.5059 V/m
572	09/23/2019 11:51:00 AM		0.9581 V/m	0.7839 V/m	0.5037 V/m
573	09/23/2019 11:51:10 AM		0.8532 V/m	0.6312 V/m	0.5129 V/m
574	09/23/2019 11:51:20 AM		1.041 V/m	0.7979 V/m	0.5220 V/m
575	09/23/2019 11:51:30 AM		0.8873 V/m	0.6836 V/m	0.4966 V/m
576	09/23/2019 11:51:40 AM		0.9286 V/m	0.7699 V/m	0.5026 V/m
577	09/23/2019 11:51:50 AM		0.8954 V/m	0.7762 V/m	0.4966 V/m
578	09/23/2019 11:52:00 AM		0.8994 V/m	0.6599 V/m	0.4877 V/m
579	09/23/2019 11:52:10 AM		0.8870 V/m	0.7792 V/m	0.4977 V/m
580	09/23/2019 11:52:20 AM		0.8901 V/m	0.7315 V/m	0.5102 V/m
581	09/23/2019 11:52:30 AM		0.8994 V/m	0.6792 V/m	0.5075 V/m
582	09/23/2019 11:52:40 AM		0.8820 V/m	0.8220 V/m	0.5246 V/m
583	09/23/2019 11:52:50 AM		0.9820 V/m	0.6876 V/m	0.4944 V/m
584	09/23/2019 11:53:00 AM		0.9520 V/m	0.7632 V/m	0.5032 V/m
585	09/23/2019 11:53:10 AM		0.9783 V/m	0.7942 V/m	0.5108 V/m
586	09/23/2019 11:53:20 AM		1.039 V/m	0.7011 V/m	0.5032 V/m
587	09/23/2019 11:53:30 AM		1.002 V/m	0.7840 V/m	0.5177 V/m
588	09/23/2019 11:53:40 AM		0.9316 V/m	0.7617 V/m	0.4977 V/m

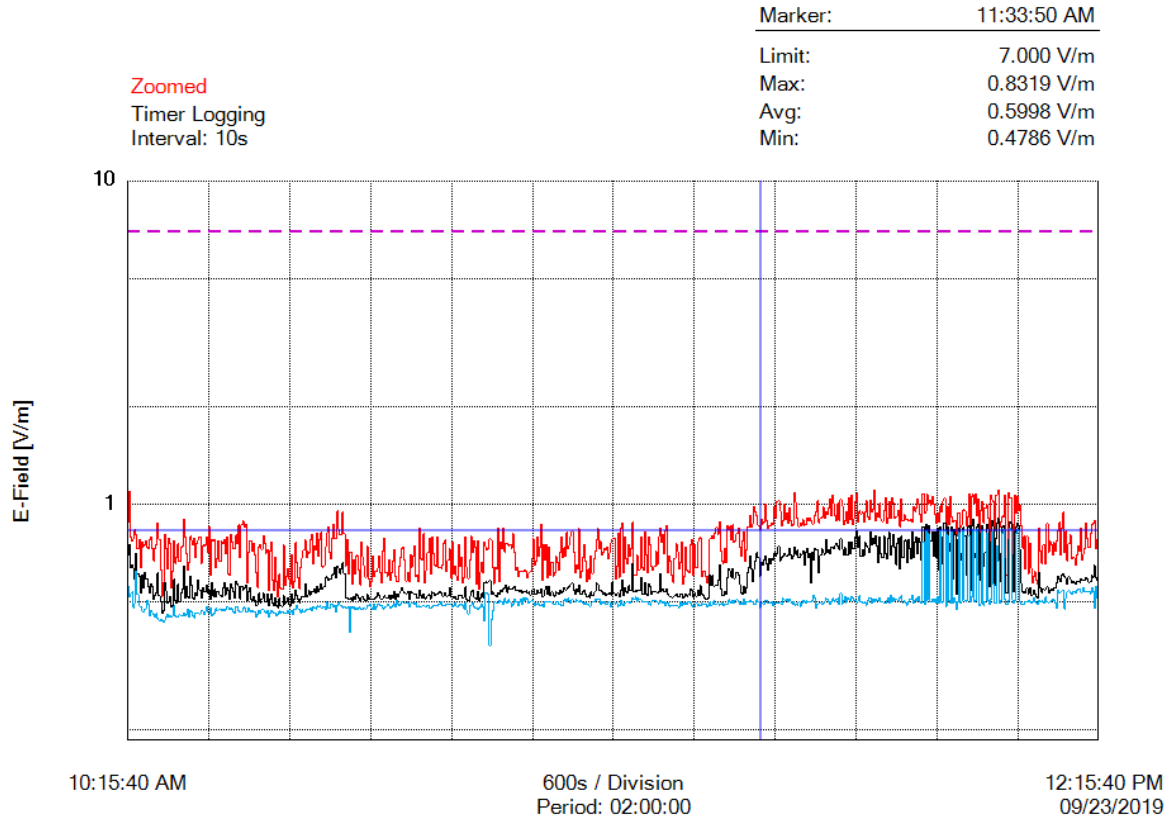
<u>Index</u>	<u>Date/Time</u>	<u>Zero</u>	<u>Max (E-Field)</u>	<u>Avg (E-Field)</u>	<u>Min (E-Field)</u>
589	09/23/2019 11:53:50 AM		0.8795 V/m	0.6700 V/m	0.4944 V/m
590	09/23/2019 11:54:00 AM		1.079 V/m	0.8543 V/m	0.7658 V/m
591	09/23/2019 11:54:10 AM		0.9372 V/m	0.6687 V/m	0.4894 V/m
592	09/23/2019 11:54:20 AM		0.9506 V/m	0.8691 V/m	0.8293 V/m
593	09/23/2019 11:54:30 AM		1.073 V/m	0.6947 V/m	0.5059 V/m
594	09/23/2019 11:54:40 AM		1.004 V/m	0.8597 V/m	0.8105 V/m
595	09/23/2019 11:54:50 AM		1.029 V/m	0.7692 V/m	0.4994 V/m
596	09/23/2019 11:55:00 AM		0.9956 V/m	0.7697 V/m	0.4994 V/m
597	09/23/2019 11:55:10 AM		1.055 V/m	0.8239 V/m	0.5097 V/m
598	09/23/2019 11:55:20 AM		0.9995 V/m	0.6887 V/m	0.5016 V/m
599	09/23/2019 11:55:30 AM		0.9271 V/m	0.8200 V/m	0.5097 V/m
600	09/23/2019 11:55:40 AM		0.8767 V/m	0.6825 V/m	0.4955 V/m
601	09/23/2019 11:55:50 AM		0.9360 V/m	0.8423 V/m	0.5167 V/m
602	09/23/2019 11:56:00 AM		0.8783 V/m	0.6268 V/m	0.4955 V/m
603	09/23/2019 11:56:10 AM		0.9881 V/m	0.8541 V/m	0.8279 V/m
604	09/23/2019 11:56:20 AM		0.9439 V/m	0.6554 V/m	0.4960 V/m
605	09/23/2019 11:56:30 AM		1.028 V/m	0.7946 V/m	0.4994 V/m
606	09/23/2019 11:56:40 AM		1.043 V/m	0.8740 V/m	0.8306 V/m
607	09/23/2019 11:56:50 AM		0.8506 V/m	0.5904 V/m	0.4837 V/m
608	09/23/2019 11:57:00 AM		0.9845 V/m	0.8506 V/m	0.8047 V/m
609	09/23/2019 11:57:10 AM		0.8676 V/m	0.7601 V/m	0.5059 V/m
610	09/23/2019 11:57:20 AM		1.054 V/m	0.7141 V/m	0.4960 V/m
611	09/23/2019 11:57:30 AM		0.9179 V/m	0.8529 V/m	0.8189 V/m
612	09/23/2019 11:57:40 AM		0.8833 V/m	0.5892 V/m	0.4949 V/m
613	09/23/2019 11:57:50 AM		0.8914 V/m	0.8356 V/m	0.5145 V/m
614	09/23/2019 11:58:00 AM		0.8904 V/m	0.8043 V/m	0.5005 V/m
615	09/23/2019 11:58:10 AM		0.8013 V/m	0.5252 V/m	0.4739 V/m
616	09/23/2019 11:58:20 AM		0.9410 V/m	0.7769 V/m	0.5015 V/m
617	09/23/2019 11:58:30 AM		0.9381 V/m	0.8449 V/m	0.8193 V/m
618	09/23/2019 11:58:40 AM		0.8499 V/m	0.6750 V/m	0.4938 V/m
619	09/23/2019 11:58:50 AM		0.8628 V/m	0.7082 V/m	0.5026 V/m
620	09/23/2019 11:59:00 AM		0.9638 V/m	0.8502 V/m	0.8296 V/m
621	09/23/2019 11:59:10 AM		0.9526 V/m	0.7992 V/m	0.5054 V/m
622	09/23/2019 11:59:20 AM		0.8551 V/m	0.6017 V/m	0.5010 V/m
623	09/23/2019 11:59:30 AM		0.9133 V/m	0.8471 V/m	0.7971 V/m
624	09/23/2019 11:59:40 AM		1.079 V/m	0.8585 V/m	0.7992 V/m
625	09/23/2019 11:59:50 AM		0.7940 V/m	0.5408 V/m	0.4988 V/m
626	09/23/2019 12:00:00 PM		1.057 V/m	0.8553 V/m	0.5172 V/m
627	09/23/2019 12:00:10 PM		1.071 V/m	0.9016 V/m	0.8369 V/m
628	09/23/2019 12:00:20 PM		1.014 V/m	0.7008 V/m	0.4994 V/m
629	09/23/2019 12:00:30 PM		1.080 V/m	0.6874 V/m	0.5021 V/m
630	09/23/2019 12:00:40 PM		0.9235 V/m	0.8536 V/m	0.8365 V/m
631	09/23/2019 12:00:50 PM		1.040 V/m	0.8713 V/m	0.6053 V/m
632	09/23/2019 12:01:00 PM		0.7607 V/m	0.5799 V/m	0.4854 V/m
633	09/23/2019 12:01:10 PM		0.9561 V/m	0.8193 V/m	0.4933 V/m
634	09/23/2019 12:01:20 PM		1.022 V/m	0.8582 V/m	0.8323 V/m
635	09/23/2019 12:01:30 PM		0.8748 V/m	0.6435 V/m	0.4865 V/m
636	09/23/2019 12:01:40 PM		0.9741 V/m	0.7091 V/m	0.5010 V/m
637	09/23/2019 12:01:50 PM		0.9984 V/m	0.8685 V/m	0.8156 V/m
638	09/23/2019 12:02:00 PM		0.9091 V/m	0.8397 V/m	0.5043 V/m
639	09/23/2019 12:02:10 PM		0.6993 V/m	0.5570 V/m	0.4910 V/m
640	09/23/2019 12:02:20 PM		1.067 V/m	0.7623 V/m	0.5097 V/m
641	09/23/2019 12:02:30 PM		1.034 V/m	0.8876 V/m	0.8226 V/m
642	09/23/2019 12:02:40 PM		1.018 V/m	0.8553 V/m	0.5669 V/m

Index	Date/Time	Zero	Max (E-Field)	Avg (E-Field)	Min (E-Field)
643	09/23/2019 12:02:50 PM		0.8299 V/m	0.5615 V/m	0.4966 V/m
644	09/23/2019 12:03:00 PM		1.067 V/m	0.7816 V/m	0.4949 V/m
645	09/23/2019 12:03:10 PM		1.071 V/m	0.8767 V/m	0.7436 V/m
646	09/23/2019 12:03:20 PM		1.106 V/m	0.9038 V/m	0.6675 V/m
647	09/23/2019 12:03:30 PM		0.8493 V/m	0.5757 V/m	0.4955 V/m
648	09/23/2019 12:03:40 PM		0.8820 V/m	0.7042 V/m	0.5048 V/m
649	09/23/2019 12:03:50 PM		0.9209 V/m	0.8522 V/m	0.8166 V/m
650	09/23/2019 12:04:00 PM		0.9115 V/m	0.8596 V/m	0.8366 V/m
651	09/23/2019 12:04:10 PM		1.068 V/m	0.6793 V/m	0.5081 V/m
652	09/23/2019 12:04:20 PM		0.6062 V/m	0.5308 V/m	0.4894 V/m
653	09/23/2019 12:04:30 PM		1.090 V/m	0.7747 V/m	0.5037 V/m
654	09/23/2019 12:04:40 PM		1.045 V/m	0.8855 V/m	0.8424 V/m
655	09/23/2019 12:04:50 PM		1.050 V/m	0.8745 V/m	0.8352 V/m
656	09/23/2019 12:05:00 PM		0.8660 V/m	0.6990 V/m	0.5070 V/m
657	09/23/2019 12:05:10 PM		0.6874 V/m	0.5357 V/m	0.4966 V/m
658	09/23/2019 12:05:20 PM		1.065 V/m	0.8220 V/m	0.5027 V/m
659	09/23/2019 12:05:30 PM		0.9392 V/m	0.8478 V/m	0.8142 V/m
660	09/23/2019 12:05:40 PM		1.060 V/m	0.8720 V/m	0.8362 V/m
661	09/23/2019 12:05:50 PM		0.9561 V/m	0.8617 V/m	0.8283 V/m
662	09/23/2019 12:06:00 PM		0.9920 V/m	0.7207 V/m	0.4994 V/m
663	09/23/2019 12:06:10 PM		0.8548 V/m	0.5685 V/m	0.4905 V/m
664	09/23/2019 12:06:20 PM		0.7327 V/m	0.5338 V/m	0.4882 V/m
665	09/23/2019 12:06:30 PM		0.7958 V/m	0.5368 V/m	0.4916 V/m
666	09/23/2019 12:06:40 PM		0.6311 V/m	0.5320 V/m	0.4999 V/m
667	09/23/2019 12:06:50 PM		0.7971 V/m	0.5498 V/m	0.4977 V/m
668	09/23/2019 12:07:00 PM		0.6108 V/m	0.5292 V/m	0.5054 V/m
669	09/23/2019 12:07:10 PM		0.7564 V/m	0.5526 V/m	0.5016 V/m
670	09/23/2019 12:07:20 PM		0.6350 V/m	0.5219 V/m	0.4927 V/m
671	09/23/2019 12:07:30 PM		0.5698 V/m	0.5241 V/m	0.4988 V/m
672	09/23/2019 12:07:40 PM		0.5966 V/m	0.5406 V/m	0.5140 V/m
673	09/23/2019 12:07:50 PM		0.6179 V/m	0.5272 V/m	0.5010 V/m
674	09/23/2019 12:08:00 PM		0.5841 V/m	0.5187 V/m	0.4927 V/m
675	09/23/2019 12:08:10 PM		0.5688 V/m	0.5113 V/m	0.4894 V/m
676	09/23/2019 12:08:20 PM		0.8431 V/m	0.6131 V/m	0.5048 V/m
677	09/23/2019 12:08:30 PM		0.7183 V/m	0.5512 V/m	0.5005 V/m
678	09/23/2019 12:08:40 PM		0.6576 V/m	0.5339 V/m	0.5026 V/m
679	09/23/2019 12:08:50 PM		0.7472 V/m	0.5476 V/m	0.4983 V/m
680	09/23/2019 12:09:00 PM		0.7524 V/m	0.5438 V/m	0.4949 V/m
681	09/23/2019 12:09:10 PM		0.6534 V/m	0.5463 V/m	0.5156 V/m
682	09/23/2019 12:09:20 PM		0.8720 V/m	0.5552 V/m	0.4983 V/m
683	09/23/2019 12:09:30 PM		0.7118 V/m	0.5317 V/m	0.4966 V/m
684	09/23/2019 12:09:40 PM		0.7676 V/m	0.5397 V/m	0.4994 V/m
685	09/23/2019 12:09:50 PM		0.7498 V/m	0.5458 V/m	0.5021 V/m
686	09/23/2019 12:10:00 PM		0.6989 V/m	0.5394 V/m	0.5075 V/m
687	09/23/2019 12:10:10 PM		0.7600 V/m	0.5494 V/m	0.5059 V/m
688	09/23/2019 12:10:20 PM		0.7164 V/m	0.5532 V/m	0.4933 V/m
689	09/23/2019 12:10:30 PM		0.7694 V/m	0.5693 V/m	0.4787 V/m
690	09/23/2019 12:10:40 PM		0.8296 V/m	0.5960 V/m	0.5401 V/m
691	09/23/2019 12:10:50 PM		0.8783 V/m	0.5883 V/m	0.5339 V/m
692	09/23/2019 12:11:00 PM		0.6954 V/m	0.5781 V/m	0.5344 V/m
693	09/23/2019 12:11:10 PM		0.8438 V/m	0.6048 V/m	0.5396 V/m
694	09/23/2019 12:11:20 PM		0.9463 V/m	0.6094 V/m	0.5431 V/m
695	09/23/2019 12:11:30 PM		0.7075 V/m	0.5964 V/m	0.4740 V/m
696	09/23/2019 12:11:40 PM		0.8263 V/m	0.5895 V/m	0.5108 V/m

<u>Index</u>	<u>Date/Time</u>	<u>Zero</u>	<u>Max (E-Field)</u>	<u>Avg (E-Field)</u>	<u>Min (E-Field)</u>
697	09/23/2019 12:11:50 PM		0.6671 V/m	0.5652 V/m	0.5350 V/m
698	09/23/2019 12:12:00 PM		0.7531 V/m	0.5965 V/m	0.5416 V/m
699	09/23/2019 12:12:10 PM		0.8030 V/m	0.5861 V/m	0.5339 V/m
700	09/23/2019 12:12:20 PM		0.6770 V/m	0.5726 V/m	0.5256 V/m
701	09/23/2019 12:12:30 PM		0.6846 V/m	0.5761 V/m	0.5350 V/m
702	09/23/2019 12:12:40 PM		0.6818 V/m	0.5739 V/m	0.5355 V/m
703	09/23/2019 12:12:50 PM		0.6513 V/m	0.5683 V/m	0.5308 V/m
704	09/23/2019 12:13:00 PM		0.6950 V/m	0.5787 V/m	0.5426 V/m
705	09/23/2019 12:13:10 PM		0.7399 V/m	0.5774 V/m	0.5466 V/m
706	09/23/2019 12:13:20 PM		0.7160 V/m	0.5740 V/m	0.5441 V/m
707	09/23/2019 12:13:30 PM		0.8425 V/m	0.5873 V/m	0.5339 V/m
708	09/23/2019 12:13:40 PM		0.6729 V/m	0.5805 V/m	0.5345 V/m
709	09/23/2019 12:13:50 PM		0.7017 V/m	0.5845 V/m	0.5512 V/m
710	09/23/2019 12:14:00 PM		0.7313 V/m	0.5813 V/m	0.5365 V/m
711	09/23/2019 12:14:10 PM		0.8758 V/m	0.5931 V/m	0.5345 V/m
712	09/23/2019 12:14:20 PM		0.7832 V/m	0.5864 V/m	0.5386 V/m
713	09/23/2019 12:14:30 PM		0.7346 V/m	0.5735 V/m	0.5370 V/m
714	09/23/2019 12:14:40 PM		0.8112 V/m	0.5761 V/m	0.5293 V/m
715	09/23/2019 12:14:50 PM		0.8651 V/m	0.6013 V/m	0.5512 V/m
716	09/23/2019 12:15:00 PM		0.8736 V/m	0.5949 V/m	0.5365 V/m
717	09/23/2019 12:15:10 PM		0.8887 V/m	0.6464 V/m	0.4780 V/m
718	09/23/2019 12:15:20 PM		0.7309 V/m	0.5923 V/m	0.5551 V/m
719	09/23/2019 12:15:30 PM		0.7747 V/m	0.5830 V/m	0.5124 V/m
720	09/23/2019 12:15:40 PM		0.7316 V/m	0.5799 V/m	0.4770 V/m



## Graph



## Parameters

---

Operating Mode	HIGH FREQUENCY
Number of Sub Indices	720
Storing Date	09/23/2019
Storing Time	10:15:40 AM
Dataset Type	TIM
Voice Comment Available	NO
Dataset Fine Type	T1
GPS Flag	DIFF
Device Product Name	NBM-550
Device Serial Number	B-0507
Device Cal Due Date	05/15/2020
Probe Product Name	EF0391
Probe Serial Number	A-0636
Probe Cal Due Date	05/16/2020
Probe Field Type	E
Probe Connection Type	A
Probe Lower Frequency Limit A	100 kHz
Probe Upper Frequency Limit A	3 GHz
Probe Lower Frequency Limit B	100 kHz
Probe Upper Frequency Limit B	3 GHz
Probe Emin A	185.0 mV/m
Probe Emax A	300.0 V/m
Probe Emin B	185.0 mV/m
Probe Emax B	300.0 V/m
Shaped Probe	NO
Standard ID	1
Standard Name	FCC 1997 Occupational
Apply Standard	OFF
Frequency	100 kHz
Apply Correction Frequency	OFF
Eref_E(f)	614.0 V/m
Eref_H(f)	614.5 V/m
Combi Probe Use	E_H
Unit	V/m
Results Format	FIXED
Auto-Zero Interval	OFF
Result Type	-
Averaging Time	-
Average Progress	-
Spatial AVG Mode	-
Store Condition	-
Storing Range	-
Cond. Stop Time	-
Upper Threshold	-
Lower Threshold	-
Timer Interval	10 sec
Timer Duration	02:00:00
History Time Scale	-
Time progress of current segment	-

**FOTOGRAFIE REJONU BADAŃ:**



Fot. 1 Rejon badań, widok w kierunku południowo – zachodnim (SW)



Fot. 2 Rejon badań, widok w kierunku północno – wschodnim (NE)



Fot. 3 Przyrząd pomiarowy w trakcie prowadzonego badania



Ryc. 3 Szkic sytuacyjny rejonu badań poziomów pól elektromagnetycznych w środowisku;  
Państwowy Monitoring Środowiska, 2019 rok

**Oznaczenia:**

- – P1 – punkt pomiaru poziomów pól elektromagnetycznych w środowisku oraz analizy selektywnej widma promieniowania elektromagnetycznego w środowisku;
- – Z1, Z2 – przybliżone zobrazowanie lokalizacji instalacji systemów radiokomunikacji mobilnej (BTS).

## **Analiza selektywna widma promieniowania elektromagnetycznego w środowisku Państwowy Monitoring Pól Elektromagnetycznych w Środowisku, 2019 rok**

---

### **WYNIKI POMIARÓW**

Wyniki pomiarów i analizy selektywnej widma pól elektromagnetycznych w zakresie częstotliwości od 27 MHz do 3 GHz, *składowej elektrycznej E*, V/m, w środowisku;

**Jaworzno**

**Gmina Jaworzno (miejska)**

**Powiat Jaworzno (miejski)**

**(woj. śląskie)**

**Punkt pomiarowy P1 poziomów pól elektromagnetycznych w środowisku  
Państwowy Monitoring Pól; Elektromagnetycznych w Środowisku, 2019 rok**

---

**1. E, V/m, wartość maksymalna określona w paśmie częstotliwości 27 MHz – 3 GHz**

$$E = 228,5 \text{ mV/m,}$$

na poziomie częstotliwości  $f$ : 795,765 MHz

(Ryc. 1: **Marker A**);

**2. E, V/m, scałkowana wartość szerokopasmowa (wraz z szumami),  
w paśmie częstotliwości 27 MHz – 3 GHz**

$$E = 615,6 \text{ mV/m;}$$

**3. E, V/m, wartość maksymalna określona w paśmie częstotliwości 27 MHz – 108 MHz,**

$$E = 6,947 \text{ mV/m;}$$

**4. E, V/m, scałkowana wartość szerokopasmowa (wraz z szumami),  
w paśmie częstotliwości 27 MHz – 108 MHz,**

$$E = 53,01 \text{ mV/m;}$$

**5. E, V/m, wartość maksymalna określona w paśmie częstotliwości 108 MHz – 450 MHz,**

$$E = 3,651 \text{ mV/m;}$$

**6. E, V/m, scałkowana wartość szerokopasmowa (wraz z szumami),  
w paśmie częstotliwości 108 MHz – 450 MHz,**

$$E = 40,85 \text{ mV/m;}$$

**7. E, V/m, wartość maksymalna określona w paśmie częstotliwości 450 MHz – 850 MHz,**

$$E = 149,8 \text{ mV/m;}$$

**8. E, V/m, scałkowana wartość szerokopasmowa (wraz z szumami),  
w paśmie częstotliwości 450 MHz – 850 MHz,**

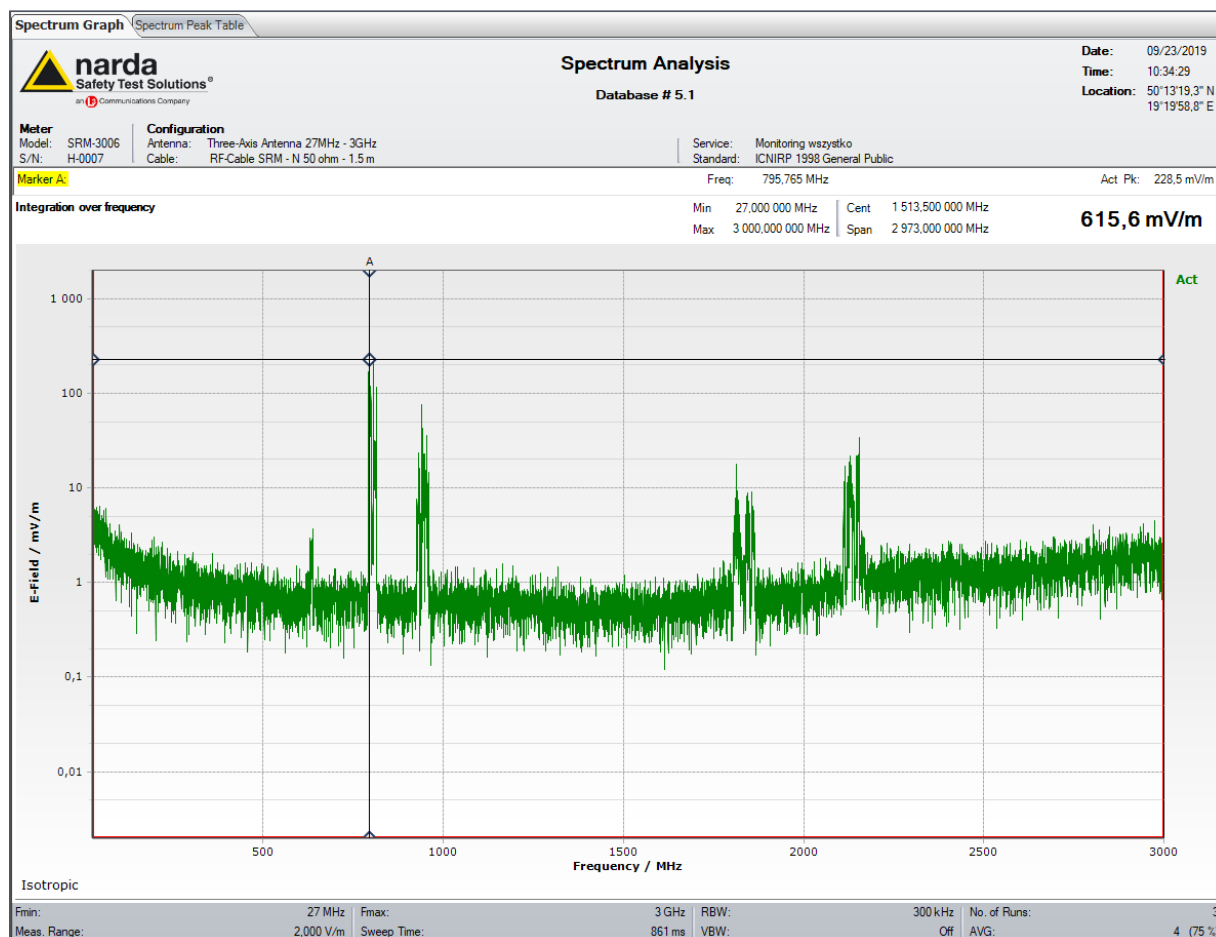
$$E = 268,1 \text{ mV/m;}$$

9. **E, V/m**, wartość maksymalna określona w paśmie częstotliwości **850 MHz – 3 GHz**,

$$E = 74,76 \text{ mV/m};$$

10. **E, V/m**, scałkowana wartość szerokopasmowa (wraz z szumami),  
w paśmie częstotliwości **850 MHz – 3 GHz**,

$$E = 189,1 \text{ mV/m};$$



Ryc. 1 SRM – 3006, Narda STS GmbH, Germany, Analiza selektywna widma pól elektromagnetycznych w środowisku, Jaworzno, Gmina Jaworzno (miejska), Powiat Jaworzno (miejski) (woj. śląskie), punkt pomiarowy P1 poziomów pól elektromagnetycznych w środowisku; Państwowy Monitoring Pól Elektromagnetycznych w Środowisku, 2019 rok.

## INTERPRETACJE I WNIOSKI

*Procesu analizy i interpretacji widma pola elektromagnetycznego w środowisku dokonano na podstawie zapisu (save) zbioru danych elementarnych widma promieniowania elektromagnetycznego, wobec czego odnosi się on wyłącznie do danego zdefiniowanego przedziału czasu elementarnego  $\Delta t$ , w którym dokonano tytułowego zapisu.*

*W rejonie tytułowych badań, w rozpatrywanym zakresie częstotliwości  $\Delta f$ , od 27 MHz do 3 GHz, dominujące źródła pól elektromagnetycznych wysokiej częstotliwości stanowią stacje bazowe telefonii komarkowej (BTS), pracujące w pasmach, odpowiednio: 850, 900, 1800 i 2100 MHz; Poza pracą instalacji systemów radiokomunikacji mobilnej zarejestrowano sygnały związane z eksploatacją systemów nadawczych cyfrowej telewizji naziemnej DVB-T.*